

مطالعه آزمایشگاهی رفتار لردهای وصله‌های مکانیکی

با جوشکاری اصطکاکی دورانی



فریبرز ناطقی الهی
استاد تمام، پژوهشگاه بین المللی زلزله شناسی
و مهندسی زلزله



محمد رضا شکرزاده
پژوهشگر پسادکتری
پژوهشگاه بین المللی زلزله شناسی و مهندسی زلزله

چکیده

در این مطالعه، رفتار لردهای وصله‌های مکانیکی با استفاده از جوشکاری اصطکاکی دورانی در سازه‌های بتن مسلح به صورت آزمایشگاهی مورد بررسی قرار گرفته است. به منظور ارزیابی عملکرد این وصله‌ها، نمونه‌های مختلفی از میلگردهای رزوهای و ترکیب آن‌ها با جوشکاری اصطکاکی دورانی (RFWTC) تحت بارگذاری یکنواخت و چرخه‌ای آزمایش شدند. نتایج نشان داد که وصله‌های RFWTC، با بهبود توزیع تنش و کاهش تمرکز تنش در ناحیه رزو، نسبت به نمونه‌های رزوی معمولی (TC) عملکرد لردهای بهتری دارند. این وصله‌ها توانستند الزامات استانداردهای بین‌المللی نظیر 318-19 ACI را از لحاظ مقاومت کششی و شکل‌پذیری برآورده کنند و برای استفاده در نواحی بحرانی لردهای مناسب تشخیص داده شدند. در مقابل، وصله‌های رزوی معمولی نیز با وجود استحکام کمتر، برای استفاده در نواحی با لردهای خیزی کم تا متوسط قابل قبول هستند. این مطالعه نشان می‌دهد که استفاده از جوشکاری اصطکاکی دورانی در وصله‌های مکانیکی می‌تواند بهبود قابل توجهی در عملکرد لردهای سازه‌های بتن مسلح ایجاد کند.

وازگان کلیدی: رفتار لردهای، وصله مکانیکی رزوی، جوش اصطکاکی دورانی، شکل‌پذیر

بتن مسلح است، چرا که اجرای نادرست این اتصالات می‌تواند تاثیر مستقیم و جدی بر عملکرد کلی سازه داشته باشد. نحوه عملکرد وصله‌های مکانیکی به شدت بر رفتار سازه‌های بتن مسلح تأثیرگذار است و عدم اتصال صحیح می‌تواند منجر به ضعف سازه در مقابل نیروهای وارد شود [1-3] بر اساس آیین نامه‌ها، دو نوع وصله وجود دارد: وصله

۱ - مقدمه و تاریخچه تحقیقات

در صنعت ساختمان، بهره‌گیری از فناوری‌های نوین به منظور افزایش کیفیت سازه‌ها و کاهش هزینه‌های تولید، نه تنها یک نیاز، بلکه ضرورتی اجتناب‌ناپذیر به شمار می‌رود. یکی از چالش‌های اساسی در ساخت و ساز، اتصال مناسب میلگردها در سازه‌های

باعث می‌شوند این روش در شرایط واقعی، نتایج مطلوبی ارائه نموده. پس از زلزله کوبه در ژاپن، ضعفهای جدی در عملکرد میلگردهای وصله شده به روش فورجینگ مشاهده شد، به طوری که حتی نظارت دقیق و اجرای آن توسط افراد ماهر نیز نتوانست مانع از بروز مشکلات شود.^[6-10]

در روش وصله‌های مکانیکی، کوپله‌ها نقش کلیدی در اتصال میلگردها به یکدیگر ایفا می‌کنند. این اتصالات را می‌توان بر اساس نحوه انتقال تنش بین میلگردها و کوپله‌ها به پنج دسته کلی تقسیم‌بندی کرد: کوپله‌های پیچی و پینی، کوپله‌های رزوه‌ای، کوپله‌های دوغابی و کوپله‌های سرد پرس شده.^[2] در این نوع اتصالات، تنش کششی از یک میلگرد به دیگری از طریق کوپلر و اجزای آن منتقل می‌شود.^[11-13] از مزایای این روش‌ها می‌توان به نصب سریع، سازگاری با محیط زیست و عملکرد قابل قبول اشاره کرد.^[10, 3] رایج‌ترین نوع وصله مکانیکی، وصله رزوه‌ای است که بزرگ‌ترین چالش آن، احتمال شکست در محل رزوه است.^[2, 3]

بر اساس آییننامه ACI 318 ، وصله‌های مکانیکی به دو نوع تقسیم می‌شوند. در نوع اول، وصله باید حداقل ۱/۲۵ برابر مقاومت تسليیم میلگرد را در کشش و فشار تحمل کند. در نوع دوم، مقاومت وصله باید حداقل برابر ۱/۶ برابر مقاومت تسليیم میلگرد یا ۹۵٪ برابر مقاومت نهایی میلگرد باشد. وصله‌های نوع اول محدودیتهای بیشتری در محل استفاده دارند و در مناطق بالرزوه خیزی پایین در هر نقطه سازه قابل اجرا هستند، اما در مناطق با

نوع اول که استفاده از آن در نقاط بحرانی سازه‌های بتن مسلح منوع است، و وصله نوع دوم که به دلیل قابلیت ایجاد اتصال یکپارچه، در هر بخشی از سازه قابل اجرا است.^[4] روش‌های مختلف وصله‌کردن میلگردها شامل سه نوع اصلی وصله‌های پوششی، جوشی و مکانیکی می‌باشند که هر کدام دارای نقاط قوت و ضعف خاص خود هستند.^[5]

وصله‌های پوششی با مشکلاتی همچون تجمع بیش از حد میلگردها در یک منطقه، عدم امکان استفاده برای میلگردهای با قطر بیش از ۳۶ میلی‌متر، و نیاز به طول‌های زیاد میلگردهای انتظار مواجه هستند. این وصله‌ها تحت بارهای متناوب و چرخه‌ای در محدوده الاستیک قابل اطمینان نیستند، و این عدم اعتماد در میلگردهای قطر بالا مانند قطرهای ۲۵، ۲۸ و ۳۲ میلی‌متر، افزایش می‌یابد.^[1] از آنجایی که این میلگردها اعضای اصلی سازه‌های بتنی را تشکیل می‌دهند، عملکرد ضعیف آن‌ها می‌تواند نگرانی‌های زیادی برای مهندسین و مجریان پروژه ایجاد کند. بر اساس آییننامه ACI 318-19 ، استفاده از این نوع وصله برای میلگردهای با قطر ۳۶ به بالا منوع شده است و همچنین در میلگردهایی که تحت کشش هستند و یا در محل‌هایی که احتمال تشکیل مفصل پلاستیک وجود دارد، مجاز نمی‌باشد.^[1]

روش جوش سربه‌سر (فورجینگ) نیز به دلیل دقت پایین در کنترل دما و خواص مکانیکی، گزینه‌ای قابل اعتماد به شمار نمی‌آید. علاوه بر این، خطاهای انسانی و محیطی، به ویژه خطاهای ماشین آلات،

براده‌برداری یا رولینگ، باعث کاهش قطر میلگرد در محل رزو شده و در نتیجه مقاومت میلگرد کاهش می‌یابد. در آزمایش‌های رفت و برگشتی، میلگرد در ناحیه رزو بیشتر مستعد شکست است. به منظور دستیابی به عملکرد مناسب لرزه‌ای برای وصله‌های مکانیکی، نیاز به انجام آزمایش‌های رفت و برگشتی بر روی اعضای بتن مسلح است. بنابراین، برای انتخاب بهینه‌ترین روش وصله، ارزیابی و بهبود نواحی مستعد شکست در طول اعضای بتن مسلح، داشتن اطلاعات کافی از عملکرد انواع وصله‌های میلگرد در سازه‌های بتن مسلح و تحلیل مناسب نوع وصله ضروری است. [۱۴، ۱۵].

در این مقاله، روشی جدید با اصلاح فرآیند ساخت وصله مکانیکی و ترکیب آن با جوشکاری اصطکاکی دوار معرفی شده است که می‌تواند در نواحی بحرانی مانند مفاصل پلاستیک اعضای شکل‌پذیر در مناطق ناحیه وصله بزرگتر شده و توانایی تحمل بار بیشتری را دارا می‌باشد. در این پژوهش، ۳۶ نمونه مختلف (شامل سه نمونه تکراری از هر نوع) مورد بررسی قرار گرفت. این نمونه‌ها شامل وصله‌های مکانیکی رزوی استاندارد (TC)، وصله‌های مکانیکی رزوی (RFWTC) و به همراه جوش اصطکاکی دوار (RFWTC) و نمونه‌های مرجع یکپارچه (NS) با قطر میلگرد ۱۶ و ۲۰ میلی‌متر بودند که تحت آزمایش چرخه‌ای تکمحوری، با و بدون پوشش بتنی، قرار گرفتند. در این آزمایش‌ها، پارامترهایی چون حساسیت به قطر میلگرد، مقاومت، شکل‌پذیری، جذب انرژی و

لرزه‌خیزی بالا، استفاده از آنها در نزدیکی محلهای انتظار رفتار غیرخطی یا در نواحی تشکیل مفصل پلاستیک مجاز نیست. وصله‌های نوع دوم با توجه به مقاومت بالاتر، در تمامی نقاط سازه و در هر منطقه لرزه‌ای قابل استفاده هستند.

۲- ضرورت انجام تحقیق

مطالعات انجام شده بر روی عملکرد وصله‌های مکانیکی را می‌توان به سه بخش تقسیم کرد: (۱) از لحاظ شکل و فرم (با یا بدون پوشش بتنی)، (۲) نوع بارگذاری (یکنواخت یا چرخه‌ای)، و (۳) سرعت بارگذاری. به طور کلی، نتایج آزمایش‌های پیشین نشان می‌دهد که رفتار تنش-کرنش میلگردهای وصله‌شده مکانیکی با میلگردهای یکپارچه متفاوت است؛ زیرا میلگردهای وصله‌شده مکانیکی نسبت به میلگردهای یکپارچه، توانایی کمتری در تغییر شکل دارند. به عبارت دیگر، میلگردهای یکپارچه قابلیت کشش بیشتری نسبت به میلگردهایی که با وصله‌های مکانیکی به یکدیگر متصل شده‌اند، دارند. ایجاد کشش در میلگرد، منجر به بروز تنش برشی در مقطع می‌شود و از آنجا که در ناحیه رزوه قرار دارد و ایجاد رزو به روش‌های سنتی (براده‌برداری یا رولینگ) منجر به کاهش مقطع میلگرد می‌شود، این موضوع سبب شکل‌گیری ناحیه‌ای با مقاومت کمتر و مستعد شکست می‌گردد. بررسی‌های انجام شده در زمینه شکست رزوهای در وصله‌های مکانیکی پیچی محدود بوده و عمده‌ترین مشکل این وصله‌ها، شکست در ناحیه رزو است. روش‌های معمول رزوه‌زنی در وصله‌های مکانیکی، مانند

<p>شناسه هر نمونه به سه بخش تقسیم می‌شود:</p> <p>بخش اول نشان می‌دهد که نمونه بدون غلاف بتن (A) با غلاف بتن (C) است.</p> <p>بخش دوم نوع وصله مکانیکی را مشخص می‌کند:</p> <p>نمونه بدون وصله مکانیکی با (NS)، نمونه دارای وصله مکانیکی رزوه‌ای با (TC)، و نمونه دارای اتصال جوشکاری اصطکاکی دورانی به همراه وصله مکانیکی رزوه‌ای با (RFWTC) مشخص شده است.</p> <p>بخش سوم قطر میلگرد و پروتکل بارگذاری را تعیین می‌کند: بارگذاری کششی با (M) و بارگذاری رفت و برگشتی با (C) مشخص شده است. در این پروتکل، بارگذاری چرخه‌ای برای نمونه‌های بدون غلاف بتّنی (C1) و برای نمونه‌های دارای غلاف بتّنی با (C2) نشان داده شده است (جدول ۲).</p> <p>در روش TC، رزوه‌ها به صورت نورد سرد ایجاد می‌شوند و این فرآیند توسط دستگاه رولینگ رزوه‌زنی بر روی میلگردها انجام می‌شود. در روش جوشکاری اصطکاکی دورانی (RFWTC)، یک بخش به طول پنج برابر قطر میلگرد، به صورت جوش اصطکاکی به میلگرد اصلی متصل شده و سپس رزوه‌زنی می‌شود (شکل ۲). طول نمونه‌های بدون غلاف بتّنی ۷۰۰ میلی‌متر است. برای نمونه‌های دارای غلاف بتّنی، یک قاب پلاستیکی عمودی، همان‌طور که در شکل (۲) نشان داده شده، استفاده شد و وضعیت عمودی قاب با پایه‌های چوبی ثبیت گردید. طول کل این نمونه‌ها ۷۰۰ میلی‌متر بود که ۶۰۰ میلی‌متر از آن داخل غلاف بتّنی قرار گرفت. قطر خارجی غلاف بتّنی برای نمونه‌های میلگرد با قطر ۱۶ میلی‌متر برابر ۱۲۱ میلی‌متر (Dc=121mm) و برای نمونه‌های میلگرد با قطر</p>	<p>عملکرد شکست مورد ارزیابی قرار گرفتند. همچنین، معیارهای لرزه‌ای مربوط به وصله‌های میلگرد بر اساس استانداردهای مختلف طراحی، برای استفاده عملی در این مقاله ارائه شده است.</p> <p>۳- معرفی نمونه‌ها و متغیرهای آزمایش</p> <p>در تمامی نمونه‌های آزمایش، نوع میلگرد، بتن مصرفی و ابعاد نمونه‌ها یکسان در نظر گرفته شده است. تنها متغیرهای مورد بررسی، نوع وصله‌های مکانیکی و قطر میلگردها هستند. در این پژوهش، از میلگردهای فولادی نوع III با قطرهای ۱۶ و ۲۰ میلی‌متر استفاده شده است که توسط کارخانه فولاد یزد تولید شده‌اند. کوپله‌های مورد استفاده نیز ساخت شرکت سهند بوده و از فولادی با استاندارد DIN 1.1191 تولید شده‌اند. سختی وصله‌های مکانیکی به کاررفته در این آزمایش برابر یا بیشتر از سختی میلگردهای معمولی است و از این رو، استفاده از آنها برای اتصال میلگردها به یکدیگر، طبق استانداردها و دستورالعمل‌های موجود، مجاز است [10].</p> <p>۱-۳ نمونه‌های وصله مکانیکی با و بدون غلاف بتّنی</p> <p>در این پژوهش، سه نوع نمونه شامل دو نوع وصله مکانیکی فشاری-کششی و یک نمونه مرجع یکپارچه ساخته و بررسی شده‌اند: وصله مکانیکی رزوه‌ای (TC)، اتصال جوشکاری اصطکاکی دورانی (RFWTC) و همراه با وصله مکانیکی رزوه‌ای (NS). مطابق شکل (۱)، در هر نمونه از میلگردهایی با قطرهای ۱۶ و ۲۰ میلی‌متر استفاده شده است. جزئیات کامل نمونه‌ها در شکل (۱) و جدول (۱) آمده است.</p>
--	---

می‌شود و سپس از طریق این روش به میلگرد اصلی متصل می‌گردد (شکل ۲). این وصله‌های رزوه‌ای می‌توانند هم در کارخانه و هم در محل پرروزه انجام شوند. به‌طور معمول، در ساختمان‌های متعارف، حدود ۵ تا ۱۰ درصد از میلگردها به دلیل محدودیت استفاده در ناحیه مفصل پلاستیک یا نیاز به اجرای وصله به صورت یک در میان، به عنوان پرت در نظر گرفته می‌شوند. در این روش، تنها یک دستگاه جوش اصطکاکی دورانی به تجهیزات موجود اضافه می‌شود که ابعاد و عملکرد آن مشابه دستگاه‌های رزوه‌زنی است. هزینه انجام هر جوش تقریباً برابر با هزینه رزوه‌زنی است و این روش به راحتی در کارگاه‌ها قابل اجراست. استفاده از این روش برای میلگردهای با قطر بزرگ‌تر به این صورت است که می‌توان از میلگردهای پرت کارگاهی استفاده کرد. با استفاده از این تکنیک، هزینه‌های مربوط به خرید یک کوبler بزرگ‌تر و دو مرحله جوشکاری اصطکاکی دورانی به پرروزه تحمیل می‌شود. با این حال، کاهش پرت میلگردهای کارگاهی به حداقل می‌رسد و علاوه بر افزایش حداقل ۲۰ درصدی سرعت اجرا، عملکرد سازه در برابر زلزله بهبود یافته و هزینه‌های جانبی نیز کاهش می‌یابد. این مزایا سبب می‌شود که روش پیشنهادی به عنوان یک راهکار اقتصادی و کارآمد در پرروزه‌های ساختمانی مورد توجه قرار گیرد [10].

۲۰ میلی‌متر برابر ۱۵۱ میلی‌متر ($D_c=151\text{mm}$) بود (جدول ۱).

در این پژوهش، از روشی به منظور افزایش سطح رزوه‌کاری استفاده شده است. برای این منظور، دو روش نورد سرد و جوشکاری اصطکاکی دورانی به کار رفته است تا ناحیه رزوه‌کاری بزرگ‌تر شود و مقاومت بهتری در اتصال میلگردها ایجاد کند.

۳-۱-۳ روش جوشکاری اصطکاکی

یکی از اولین و رایج‌ترین فرآیندهای جوشکاری اصطکاکی است که به صورت تجاری مورد استفاده قرار گرفته است. در این روش، یکی از قطعات استوانه‌ای در جای خود ثابت نگه داشته می‌شود و قطعه دیگر با سرعت بالا حول محور خود می‌چرخد. این چرخش باعث می‌شود که در اثر اصطکاک، مواد در محل اتصال دو قطعه نرم شده و در نهایت، پس از اعمال فشار، قطعات به یکدیگر جوش بخورند. از مزایای این روش، امکان اتصال فلزات هم‌جنس و غیرهم‌جنس است. در این فرآیند، گرما از طریق چرخش سریع ایجاد می‌شود و ماده نرم شده از محل اتصال به بیرون هدایت می‌شود. سپس، با متوقف کردن چرخش و اعمال فشار بیشتر قبل از کاهش دما، یک اتصال قوی در فاز جامد شکل می‌گیرد که مشکلات جوشکاری ذوبی را ندارد [۱۹-۱۶].

در روش جوشکاری اصطکاکی دورانی برای میلگردها، میلگردی با قطر بزرگ‌تر ابتدا رزوه

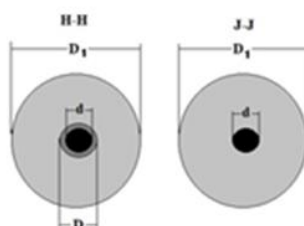
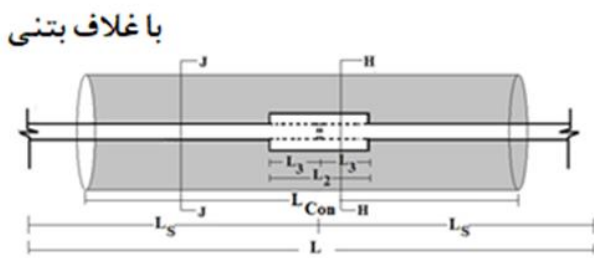
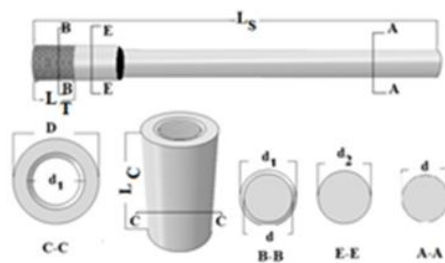
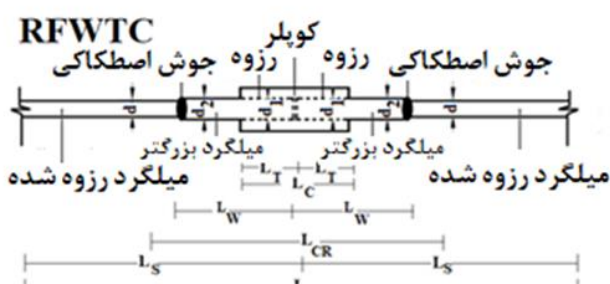
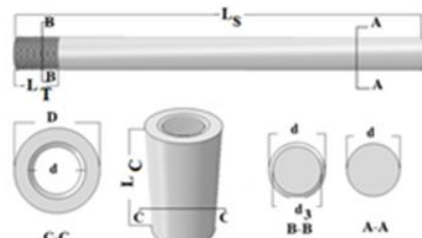
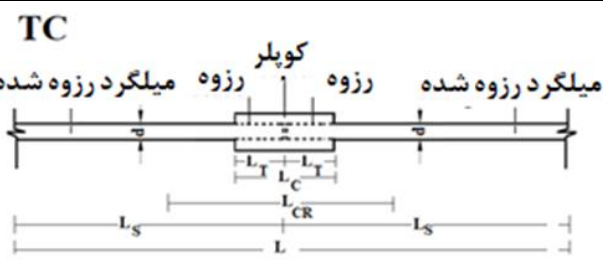
جدول ۱: جزئیات نمونه‌ها*

$\varnothing D$	D	r_d	r_d	d	conL	wL	tL	cL	sL	L	bD	نمونه
۱۲۱	-	-	-	-	۶۰۰	-	-	-	-	۷۰۰	۱۶	مرجع یکپارچه
۱۵۱	-	-	-	-	۶۰۰	-	-	-	-	۷۰۰	۲۰	(NS)
۱۲۱	۲۳	۲/۵	-	۱۶	۶۰۰	-	۲۱	۴۲	۳۵۰	۷۰۰	۱۶	وصله مکانیکی رزوهای
۱۵۱	۳۰	۲/۵	-	۲۰	۶۰۰	-	۲۵	۵۰	۳۵۰	۷۰۰	۲۰	(TC)
۱۲۱	۲۸	۲/۵	۱۸	۱۸	۶۰۰	۸۰	۲۳	۴۶	۳۶۰	۷۰۰	۱۶	اتصال جوشکاری اصطکاکی دورانی با وصله
۱۵۱	۳۳	۲/۵	۲۲	۲۲	۶۰۰	۱۰۰	۲۷	۵۴	۳۶۰	۷۰۰	۲۰	mekanikی رزوهای (RFWTC)

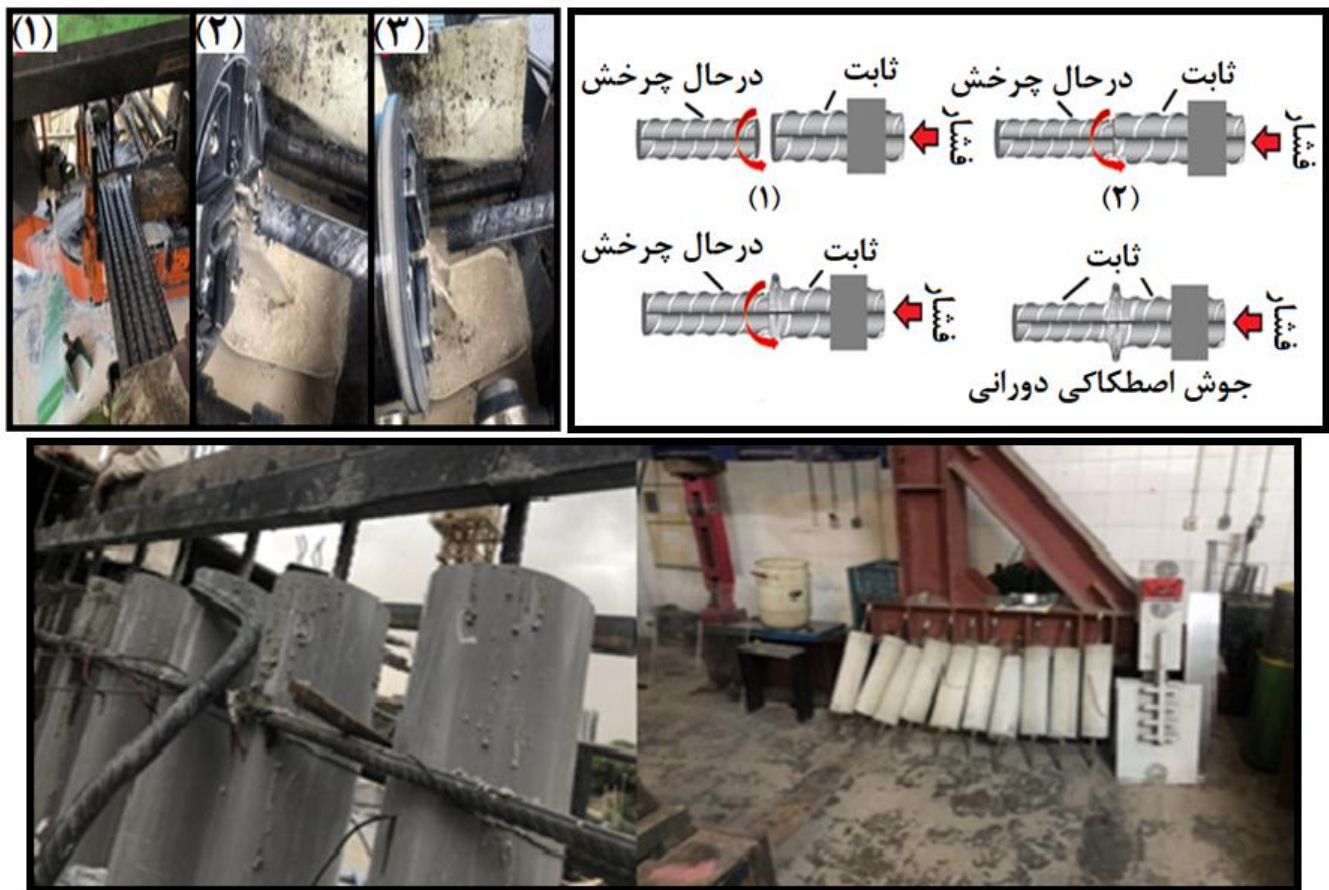
*ابعاد به میلیمتر است.

جدول ۲: شناسه نمونه‌ها

شناسه نمونه با غلاف بتنی	شناسه نمونه بدون غلاف بتنی	نمونه
،C۱۶-NS-C	،C۱۶-NS-A	مرجع یکپارچه (NS)
،C۲۰-NS-C	،C۲۰-NS-A	
،C۱۶-TC-C	،C۱۶-TC-A	وصله مکانیکی رزوهای (TC)
،C۲۰-TC-C	،C۲۰-TC-A	
،C۱۶-RFWTC-C	،C۱۶-RFWTC-A	اتصال جوشکاری اصطکاکی دورانی با وصله مکانیکی رزوهای (RFWTC)
،C۲۰-RFWTC-C	،C۲۰-RFWTC-A	



شکل ۱: جزئیات نمونه‌های TC و RFWTC بدون غلاف بتن و با غلاف بتنی.



شکل ۲: فرایند ساخت نمونه‌های

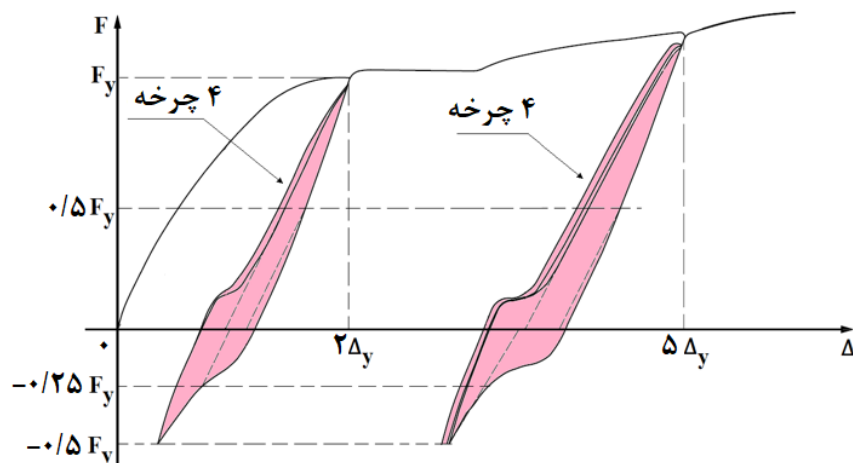
نیز قابلیت جابه‌جایی تا ۳۰ سانتی‌متر را دارد. دستگاه توسط کنترل‌کننده دیجیتال ۹۶۰۰ که بین دستگاه و کامپیوتر قرار دارد، مدیریت می‌شود. این کنترل‌کننده، کنترل دقیق فک پایین را به دو صورت کنترل جابه‌جایی و کنترل نیرو انجام می‌دهد و می‌تواند سیگنال‌های جابه‌جایی (Stroke) و نیرو (Load) را از مبدل‌های نصب شده روی

۲-۳ دستورالعمل بارگذاری برای وصله میلگرد مکانیکی پیشنهادی

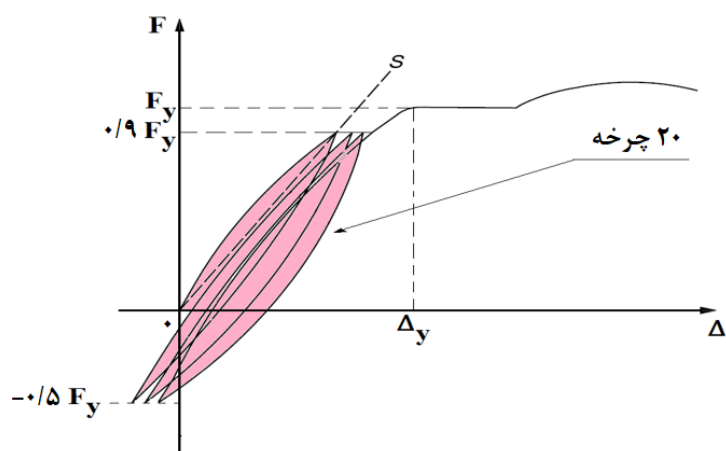
دستگاه تست استفاده شده در این تحقیق ساخت کارخانه Roell Amsler آلمان است و قابلیت اعمال نیروهای کششی و فشاری به نمونه‌های گرد و تخت را به صورت استاتیکی و دینامیکی دارد. در حالت استاتیک، این دستگاه می‌تواند تا ۶۰۰ کیلونیوتن نیرو و در حالت دینامیک تا ۵۰۰ کیلونیوتن نیرو اعمال کند. این دستگاه دارای دو فک است؛ فک بالایی به عنوان تکیه‌گاه و فک پایینی به عنوان محرك عمل می‌کند. فاصله بین دو فک با بالا و پایین بردن فک بالایی تنظیم می‌شود و فک پایینی

خارج از آن، از پروتکل بارگذاری استاندارد ISO/DIS 15835 استفاده شد (شکل ۳) [۲۱].

اعضای انعطاف‌پذیر تحت بارگذاری زلزله مناسب است، تحلیل رفتار چرخه‌ای آن ضروری است. برای بارگذاری چرخه‌ای نمونه‌های داخل غلاف بتنی و



نمونه بدون غلاف بتنی (C₁)



نمونه با غلاف بتنی (C₂)

شکل ۳: تاریخچه بارگذاری چرخه‌ای [۲۶].

حداقل مقاومت تسلیم کششی برای میلگردهای ۱۶ و ۲۰ میلی‌متری به ترتیب ۵۱۱ و ۵۱۰ مگاپاسکال و مقاومت نهایی آنها ۶۱۸ و ۶۵۴ مگاپاسکال بود (جدول ۳ و شکل ۴). حداقل کرنش نهایی (εu) برای هر دو قطر، ۰،۹۰،۰ اندازه‌گیری شد.

نتایج نشان داد که سیستم RFWTC تحت بارگذاری‌های یکنواخت و چرخه‌ای عملکردی مشابه

۴- مشاهدات، تجزیه و تحلیل نتایج آزمایش‌ها

۱- نمونه بدون غلاف بتنی

در این پژوهش، ۱۸ نمونه وصله مکانیکی میلگرد و ۶ نمونه مرجع یکپارچه با قطرهای ۱۶ و ۲۰ میلی‌متر تحت بارگذاری چرخه‌ای C1 بررسی شدند. برنامه آزمایشی شامل دو نوع کوپلر مختلف و (TC و RFWTC) نمونه‌های مرجع (NS) بود.

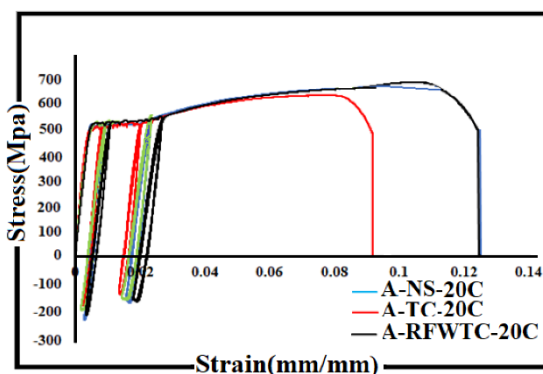
کاهش ϵ_u در ناحیه اتصال TC ممکن است به دلیل تمرکز تنش باشد که منجر به شکست در محل وصله می‌شود. این مسئله در اعضای خمشی و نقاط با گرادیان لنگر بالا، به کاهش شکل‌پذیری و افزایش خطر شکست منجر خواهد شد. توجه به این نکات در طراحی و تحلیل سازه‌ها برای بهبود دوام و عملکرد آنها ضروری است.

نمونه‌های یکپارچه دارد. در حالی که در نمونه TC به دلیل تمرکز تنش در ناحیه رزو، کرنش نهایی کاهش یافته و به 0.09 رسیده است. فرآیند RFWTC با افزایش سطح مقطع میلگرد در ناحیه رزو، توزیع کرنش را بهبود بخشدید و منجر به کاهش تنش در کوپلر شده است. در مقابل، نمونه‌های TC به دلیل کاهش سطح مقطع در ناحیه رزو، دچار شکست زودرس شدند (شکل ۵).

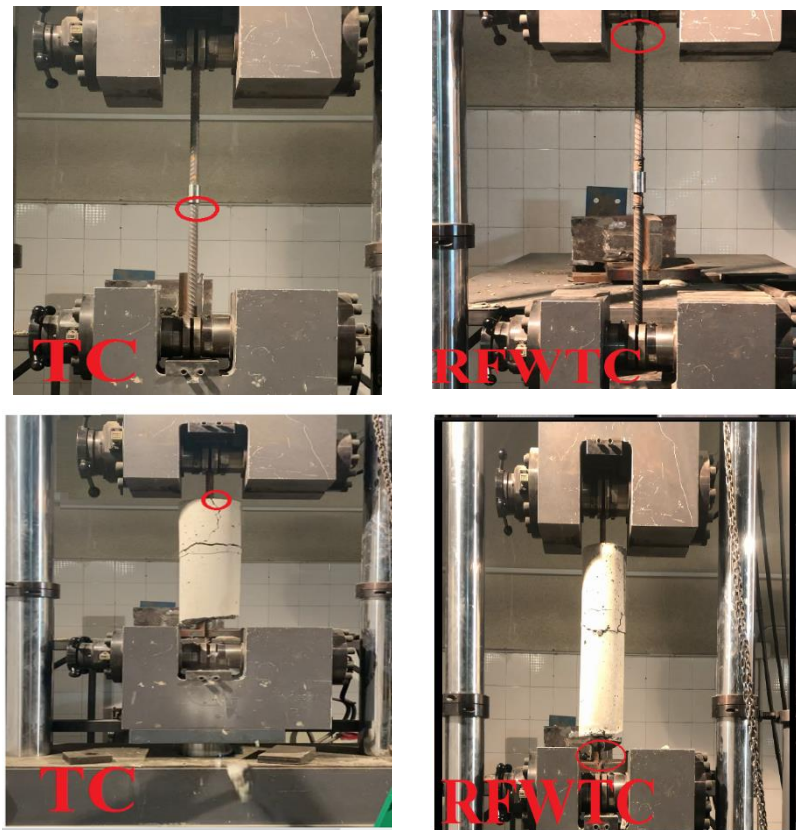
جدول ۳: نتایج آزمایش نمونه بدون غلاف بتُنی*

R_y (%)	R_u (%)	μ (ϵ_u / ϵ_y)	μ_ϵ ($\epsilon_{usp} / \epsilon_{ub}$)	ϵ_u (mm/mm)	ϵ_y (mm/mm)	f_u (MPa)	f_y (MPa)	F_u (kN)	F_y (kN)	میانگین سه تکرار نمونه
-	-	۳۰/۰۰	۱	۰/۱۳۲± ۰/۰۰۲ ^{d,e}	۰/۰۰۴۴± ۰/۰۰۰۵ ^{d,e}	۶۲۸± ۱/۳ ^{d,e}	۵۲۴± ۸/۵ ^d	۱۲۳± ۰/۵ ^{d,e}	۱۰۴± ۰/۵ ^{df}	,C16-NS-A
۹۸/۴۷	۱۱۷/۹۴	۲۳/۶۸	۰/۶۸	۰/۰۹۰± ۰/۰۰۳ ^e	۰/۰۰۳۸± ۰/۰۰۰۲ ^e	۶۱۸± ۳/۸ ^e	۵۱۶± ۶۲ ^d	۱۲۱± ۰/۸۰ ^e	۱۰۲± ۳/۱ ^d	,C16-TC-A
۱۰۰/۰۰	۱۲۵/۲۰	۲۹/۶۰	۰/۹۹	۰/۱۳۰± ۰/۰۰۶ ^d	۰/۰۰۴۴± ۰/۰۰۰۱۸ ^d	۶۵۶± ۱۷/۸ ^d	۵۲۴± ۱۱ ^d	۱۲۹± ۳/۶ ^d	۱۱۲± ۳/۷ ^g	,C16-RFWTC-A
-	-	۲۷/۸۰	۱	۰/۱۲۸± ۰/۰۰۳ ^j	۰/۰۰۴۶± ۰/۰۰۱۶ ^j	۶۸۶± ۲/۹ ^{j,l}	۵۱۴± ۵/۴ ^j	۱۹۶± ۰/۸ ^j	۱۶۱± ۱/۲ ^j	,C20-NS-A
۹۲/۲۲	۱۲۴/۵۰	۲۲/۵۰	۰/۷۰	۰/۰۹۰± ۰/۰۰۳ ^k	۰/۰۰۴۰± ۰/۰۰۰۲۰ ^k	۶۴۱± ۳/۶ ^k	۵۱۰± ۷/۱ ^j	۱۸۷± ۲/۱ ^k	۱۶۰± ۲/۱ ^j	,C20-TC-A
۱۰۵/۰۵	۱۳۴/۸۲	۲۸/۰۰	۰/۹۹	۰/۱۲۶± ۰/۰۰۲ ^j	۰/۰۰۴۵± ۰/۰۰۰۲۶ ^{j,k}	۶۹۳± ۶/۰ ^j	۵۴۰± ۷/۰ ^k	۱۹۸± ۱/۷ ^j	۱۶۸± ۲/۶ ^k	,C20-RFWTC-A

*حروف مختلف در یک ستون نشان‌دهنده تفاوت معنی‌داری است ($p < 0.05$)



شکل ۴: نمودار نمونه‌های بدون غلاف بتُنی (NS, TC, RFWTC) تحت بارگذاری چرخه‌ای



شکل ۵: ناحیه شکست نمونه‌های (NS، TC، RFWTC) تحت بارگذاری چرخه‌ای (میلگرد ۱۶ و ۲۰ میلیمتر)

استفاده از حد پایین محافظتی مبتنی بر نمونه‌های بدون غلاف ممکن است برای این نوع وصله‌ها کافی نباشد و خطر شکست و خرابی وجود داشته باشد. این یافته‌ها اهمیت توجه به محدودیت‌های عملکردی در هنگام استفاده از وصله‌های مکانیکی در اعضای دارای غلاف بتی را نشان می‌دهد (جدول (۴) و شکل (۵)). عملکرد وصله در حالت بدون غلاف بتی به عنوان یک حد پایین محافظتی محسوب می‌شود، اما نتایج آزمایش‌ها نشان می‌دهد که عملکرد اتصالات در غلاف بتی کمتر از حالت بدون غلاف بتی است، به این معنی که با استفاده از حد پایین محافظتی مبتنی بر عملکرد در حالت بدون غلاف بتی، ممکن است وصله در با غلاف بتی به درستی عمل نکنند و خطر شکست و خرابی وجود داشته باشد [۲۲].

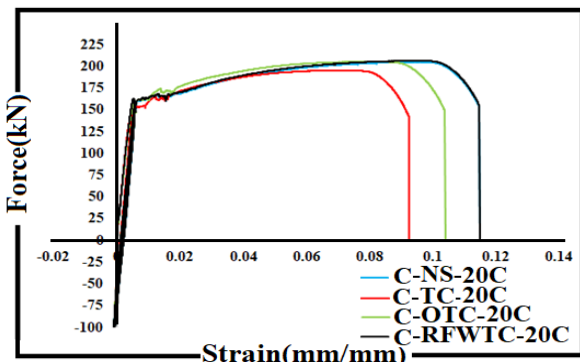
۴-۴ نمونه با غلاف بتی

در این بخش از مطالعه، ۱۸ نمونه وصله مکانیکی میلگرد و ۶ نمونه مرجع بدون وصله با سه نوع کوپلر (TC)، RFWTC و NS با قطرهای ۱۶ و ۲۰ میلی‌متر، تحت بارگذاری چرخه‌ای C2 درون غلاف بتی مورد آزمایش قرار گرفتند. نتایج نشان داد که در نمونه‌های با غلاف بتی، مقدار کرنش نهایی (eu) بسته به نوع وصله و بارگذاری کاهش یافته است. همچنین، آزمایش‌های تک محوری نشان دادند که نمونه‌های دارای غلاف بتی، کرنش کمتری نسبت به نمونه‌های بدون غلاف دارند، که این امر به عنوان یک حد پایین محافظتی برای عملکرد وصله‌ها در نظر گرفته می‌شود. در برخی موارد، عملکرد وصله‌ها در نمونه‌های با غلاف بتی کمتر از نمونه‌های بدون غلاف است، به این معنی که

جدول ۴: نتایج آزمایش نمونه با غلاف میلگرد*

Ry (%)	R _u (%)	μ ($\varepsilon_u / \varepsilon_y$)	μ_e ($\varepsilon_{usp} / \varepsilon_{ub}$)	ε_u (mm/mm)	ε_y (mm/mm)	f _u (MPa)	f _y (MPa)	F _u (kN)	F _y (kN)	Specimen Average
-	-	۲۱/۸۰	۱	۰/۰۹۸±	۰/۰۰۴۵±	۶۳±	۵۳±	۱۲۵±	۱۰۵±	۲C16-NS-C
				۰/۰۰۲ ^c	۰/۰۰۰۰۸ ^c	۴/۱ ^c	۳/۳ ^c	۰/۸ ^c	۰/۵ ^c	
۹۶/۰۹	۱۱۵/۰۶	۲۲/۳۰	۰/۹۲	۰/۰۹۱±	۰/۰۰۳۹±	۶۱±	۵۱±	۱۲۰±	۱۰۴±	۲C16-TC-C
				۰/۰۰۳ ^f	۰/۰۰۰۲۱ ^f	۰/۵ ^c	۶/۴ ^f	۰/۸ ^f	۱/۴ ^c	
۹۷/۰۲	۱۲۵/۰۹	۲۴/۳۰	۱/۰۴	۰/۱۰۲±	۰/۰۰۴۲±	۶۷۳±	۵۲۲±	۱۲۹±	۱۱۲±	-RFWTC-C
				۰/۰۰۲ ^e	۰/۰۰۰۱۲ ^f	۱/۰ ^f	۱/۴ ^f	۱/۴ ^g	۰/۵ ^g	۲C16
-	-	۰/۲/۳۰	۱	۰/۱۱۰±	۰/۰۰۴۸±	۶۸۸±	۵۲۱±	۱۹۸±	۱۶۴±	۲C20-NS-C
				۰/۰۰۰۲ ^j	۰/۰۰۰۱۲ ^{jk}	۱/۹ ^{jl}	۳/۳ ^j	۰/۸ ^j	۱/۳ ^{jk}	
۹۹/۰۴	۱۲۴/۰۰	۲۰/۷۵	۰/۷۳	۰/۰۸۱±	۰/۰۰۳۹±	۶۴۹±	۵۱۶±	۱۸۴±	۱۶۱±	۲C20-TC-C
				۰/۰۰۰۲ ^k	۰/۰۰۰۱۳ ^l	۱/۰ ^k	۰/۹ ^j	۱/۴ ^k	۱/۹ ^j	
۱۰۳/۴۶	۱۳۳/۰۱	۲۵/۲۰	۱/۰۱	۰/۱۱۱±	۰/۰۰۴۴±	۶۹۳±	۵۳۹±	۱۹۹±	۱۶۸±	-RFWTC-A
				۰/۰۰۰۱ ^m	۰/۰۰۰۲۷ ^{jl}	۶/۱ ^l	۶/۹ ^l	۱/۷ ^j	۲/۷ ^l	۲C20

*حروف مختلف در یک ستون نشان‌دهنده تفاوت معنی‌داری است ($p < 0.05$)



شکل ۵: نمودار F-ε نمونه‌های با غلاف بتنی (NS, TC, RFWTC) تحت بارگذاری چرخه‌ای

برآورده کند. در مقابل، اگر این نسبت کمتر از ۰,۶۵ باشد،

میلگرد وصله شده برای اعضايی که در معرض تغيير شکل‌های غيرالاستيک قرار دارند، مناسب نخواهد بود.

همچنین، شکل پذيری ميلگرد وصله شده (μ_{usp}) باید برابر یا بيشتر از ميلگرد يكپارچه (μ_{ub}) باشد. برای اجزاي سازه‌اي که تحت تنش‌های لرزه‌اي هستند، اين نسبت باید حداقل برابر ۱,۰ باشد. نتایج نشان می‌دهد که نمونه RFWTC به دليل شکل پذيری مشابه با ميلگرد يكپارچه، برای استفاده در مناطق لرزه‌اي مناسب است. در حالی که

۴-۳ شکل پذيری نمونه‌های با و بدون غلاف بتنی

۳۰ هر نمونه در جدول (۳) با استفاده از شکل (۶) و معادله (۱) تعیين شد. لازم به ذكر است که می‌توان از نسبت کرنش نهايی به کرنش تسلیم برای محاسبه نسبت شکل پذيری استفاده کرد [۲۲].

$$(1) \frac{\text{کرنش نهايی ميلگرد وصله شده}}{\text{کرنش نهايی ميلگرد يكپارچه}} = \frac{(\mu_e)}{(\mu_{usp})}$$

نسبت شکل پذيری بيشتر از ۰,۶۵ می‌تواند الزامات استانداردهای EC2 و EC8 را برای شکل پذيری متوسط

دارد و برای استفاده در مناطق با لرزه‌خیزی بالا ایده‌آل است. نمونه‌های TC نیز با داشتن عملکرد قابل قبول، می‌توانند در برابر زلزله‌های با شدت کم تا متوسط مقاومت گیرند.

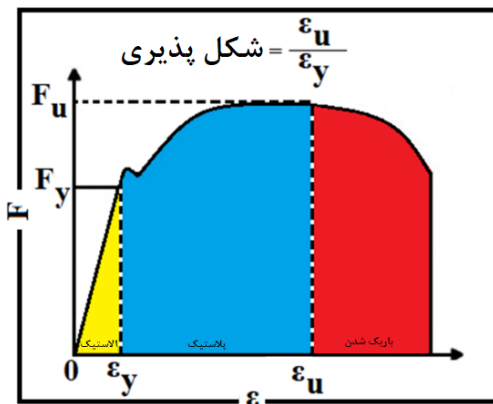
۵- نتیجه‌گیری

در این مطالعه، عملکرد مکانیکی وصله‌های مکانیکی رزوهای و جوشکاری اصطکاکی دورانی در مقایسه با میلگردهای یکپارچه بررسی شد. نتایج نشان داد که وصله مکانیکی رزوهای (TC) و وصله ترکیبی جوشکاری اصطکاکی دورانی با رزوهای (RFWTC) هر دو الزامات استانداردهای بین‌المللی نظیر ISO 318-19 و ACI 15835 را از لحاظ استحکام و شکل‌پذیری برآورده می‌کنند. نمونه‌های RFWTC، به دلیل افزایش سطح مقطع و توزیع یکنواخت‌تر تنش‌ها در محل رزو، بالاترین مقاومت و شکل‌پذیری را در بین نمونه‌های آزمایش شده نشان دادند و برای استفاده در نواحی بحرانی لرزه‌ای پیشنهاد می‌شوند. همچنین، این نوع وصله به دلیل کاهش تمرکز تنش‌ها و بهبود اتصال در ناحیه رزو، عملکرد بهتری در برابر بارهای لرزه‌ای دارد و به عنوان جایگزینی مطمئن برای میلگردهای یکپارچه قابل استفاده است.

در مقابل، نمونه‌های TC نیز با وجود عملکرد پایین‌تر نسبت به RFWTC، الزامات لازم برای استفاده در نواحی باللرزه‌خیزی کم تا متوسط را دارا هستند. هرچند که در این نمونه‌ها به دلیل کاهش سطح مقطع در محل رزو، تمرکز تنش‌ها بیشتر بوده و در نتیجه مقاومت کمتری نسبت به نمونه‌های RFWTC از خود نشان می‌دهند.

به طور کلی، استفاده از وصله‌های مکانیکی رزوهای و جوشکاری اصطکاکی دورانی، به‌ویژه در شرایطی که امکان استفاده از میلگردهای یکپارچه وجود ندارد، می‌تواند بهبود چشمگیری در عملکرد سازه‌های بتن مسلح، به‌ویژه در

ميلگردهای وصله‌شده با TC برای مقاومت در برابر نیروهای لرزه‌ای کم تا متوسط می‌توانند مورد استفاده قرار گیرند.



شکل ۶: تعریف کرنش تسلیم و کرنش نهایی [۲۳، ۲۴]

۴- ارزیابی رفتار مکانیکی وصل مکانیکی

بررسی‌ها نشان داد که مکانیزم اتصال میلگرد رزو شده و کوپلر دارای استحکام قفل‌شوندگی کافی برای جلوگیری از جابجایی لغزشی است. قطر مناسب رزو نش نیز مهمی در تضمین عملکرد مطلوب وصله مکانیکی دارد و سطح مقطع بزرگ‌تر از میلگرد می‌تواند به توزیع یکنواخت تنش در سطح اتصال کمک کند. استانداردهای ISO AC-133، ACI 439، ACI 318-19 و 15835-Part 1 & 2، معیارهای مورد نیاز برای استحکام و عملکرد این اتصالات را تعیین کرده‌اند.

طبق استانداردهای BS-8110 و 318-19 ACI، مقاومت کششی نهایی اتصالات مکانیکی باید حداقل ۱,۲۵ برابر استحکام تسلیم میلگرد باشد. نسبت مقاومت نهایی (Ru) برای نمونه‌های RFWTC در این مطالعه بالاتر از ۱۲۵ درصد است و بنابراین الزامات ACI 318-19 را برآورده می‌کند. نمونه‌های TC نیز با وجود عملکرد پایین‌تر نسبت به RFWTC، حداقل‌های استاندارد را دارند.

در مقایسه با سایر نمونه‌ها، RFWTC از نظر استحکام، شکل‌پذیری، اتلاف انرژی و حالت خرابی عملکرد بهتری

۶-قدر دانی

بدینوسیله از پژوهشگاه بین المللی زلزله شناسی و مهندسی زلزله بابت حمایت مالی از پروژه و فراهم نمودن کلیه امکانات پژوهشی تشرک و قدردانی بعمل می آید.

نواحی لرزه خیز، ایجاد کند. بنابراین، توصیه می شود از نمونه های RFWTC در پروژه های با خطر لرزه ای بالا استفاده شود تا علاوه بر کاهش پر مصالح، استحکام و شکل پذیری سازه به طور قابل ملاحظه ای افزایش یابد.

۷-منابع

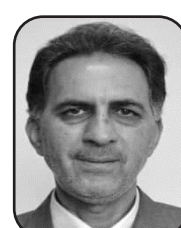
- [1] *Nateghi-Alahi F, Shokrzadeh MR. Behavior considerations for mechanical rebar couplers. Behavior considerations for mechanical rebar couplers, University of Tokyo: 2019, p. 30–41.*
- [2] *Shokrzadeh MR, Nateghi Allahe F, Mansoori , Mohammad Reza, Javadi P, Mansoori, MR, Javadi P. Failure area evaluation of the coupler with threaded bar: Experimental and Numerical study. International Journal of Advanced Structural Engineering 2022;12:531–43. <https://doi.org/10.1007/IJASE.2022.692294>.*
- [3] *Shokrzadeh MR, Nateghi-Alahi F, Mansoori MR, Javadi P. The improvement of the threaded-based mechanical splice by modifying the threaded system: Study of techniques cold rolling and rotating friction welding. Journal of Building Engineering 2023;80:107964. <https://doi.org/10.1016/J.JOBE.2023.107964>.*
- [4] *ACI 318-19 Building Code Requirements for Structural Concrete and Commentary. 318-19 Building Code Requirements for Structural Concrete and Commentary 2019. <https://doi.org/10.14359/51716937>.*
- [5] *Shokrzadeh MR, Nateghi-Alahi F. Experimental study of seismic behavior and modification of the failure region of mechanical bar splices. Sharif Journal of Civil Engineering 2025. <https://doi.org/10.24200/J30.2024.63880.3292>.*
- [6] *Abé M, Shimamura M. Performance of railway bridges during the 2011 Tōhoku earthquake. Journal of Performance of Constructed Facilities 2014;28:13–23. [https://doi.org/10.1061/\(ASCE\)CF.1943-5509.0000379](https://doi.org/10.1061/(ASCE)CF.1943-5509.0000379).*
- [7] *Saito T, Yabe Y, Fujimori T. An ultrasonic testing method for gas pressure welded joints of reinforcing steel bars. Ultrasonics 1985. [https://doi.org/10.1016/0041-624X\(85\)90060-5](https://doi.org/10.1016/0041-624X(85)90060-5).*
- [8] *Yamamoto RI, Fukada Y, Tatsumi M, Ueyama K. New quality inspection method for gas pressure welds. Quarterly Report of RTRI (Railway Technical Research Institute) (Japan) 2002. <https://doi.org/10.2219/rtriqr.43.7>.*
- [9] *Shokrzadeh M, Aziminejhad A, Sarvghadmoğaddam A. Hysteretic Behavior of Concrete Connections Strengthened by X-Shape FRP Strips. Analysis of Structure and Earthquake 2016;12:29–40.*
- [10] *Shokrzadeh MR. Experimental study of seismic behavior and modification of the failure region of mechanical bar splices in reinforced concrete vertical elements. Islamic Azad University Science and Research Branch, 2024.*
- [11] *Dabiri H, Kheyroddin A, Faramarzi A. Predicting tensile strength of spliced and non-spliced steel bars using machine learning- and regression-based methods. Construction and Building Materials 2022. <https://doi.org/10.1016/j.conbuildmat.2022.126835>.*
- [12] *Sharbatdar MK, Jafaria OM, Karimib MS. Experimental evaluation of splicing of longitudinal bars with forging welding in flexural reinforced concrete beams. Advances in Concrete Construction 2018. <https://doi.org/10.12989/acc.2018.6.5.509>.*
- [13] *Bompa D V, Elghazouli AY. Inelastic cyclic behaviour of RC members incorporating threaded*

- reinforcement couplers.* *Engineering Structures* 2019;180:468–83.
<https://doi.org/10.1016/j.engstruct.2018.11.053>.
- [14] Ghayeb HH, Razak HA, Sulong NHR, Mo KH, Abutaha F, Gordan M. *Performance of mechanical steel bar splices using grouted couplers under uniaxial tension.* *Journal of Building Engineering* 2021.
<https://doi.org/10.1016/j.jobe.2020.101892>.
- [15] Henin E, Morcous G. *Non-proprietary bar splice sleeve for precast concrete construction.* *Engineering Structures* 2015;83:154–62. <https://doi.org/10.1016/j.engstruct.2014.10.045>.
- [16] Seshu Kumar A, Abdul Khadeer S, Rajinikanth V, Pahari S, Ravi Kumar B. *Evaluation of bond interface characteristics of rotary friction welded carbon steel to low alloy steel pipe joints.* *Materials Science and Engineering A* 2021. <https://doi.org/10.1016/j.msea.2021.141844>.
- [17] Li W, Wang F. *Modeling of continuous drive friction welding of mild steel.* *Materials Science and Engineering A* 2011. <https://doi.org/10.1016/j.msea.2011.04.001>.
- [18] Woodhead Publishing Series in Welding and Other Joining Technologies. *Control of Welding Distortion in Thin-Plate Fabrication*, 2014. <https://doi.org/10.1016/b978-0-85709-047-8.50016-9>.
- [19] Kuscu H, Becenen I, Sahin M. *Evaluation of temperature and properties at interface of AISI 1040 steels joined by friction welding.* *Assembly Automation* 2008. <https://doi.org/10.1108/01445150810904468>.
- [20] Structural Engineering Lab. - International Institute of Earthquake Engineering and Seismology n.d.
<http://www.iiees.ac.ir/en/structural-laboratory/> (accessed November 28, 2021).
- [21] ISO/DIS 15835. *Steel for the Reinforcement of Concrete - Reinforcement Couplers for Mechanical Splices of Bars (Parts 1 to 3).* International Organization for Standardization, Geneva, Switzerland; 2018. n.d.
- [22] Bopma D V., Elghazouli AY. *Monotonic and cyclic performance of threaded reinforcement splices.* *Structures* 2018;16:358–72. <https://doi.org/10.1016/j.istruc.2018.11.009>.
- [23] Shokrzadeh MR, Nateghi-Alahi F. *Evaluation of hybrid NSM-CFRP technical bars and FRP sheets for seismic rehabilitation of a concrete bridge pier.* *Bridge Structures* 2022;18:75–88.
<https://doi.org/10.3233/BRS-290180>.
- [24] Shokrzadeh MR, Aziminejad A, Moghaddam AS. *Evaluation of various FRP strengthening configurations for RC beam-column joints.* *Bridge Structures* 2024;Preprint:1–21. <https://doi.org/10.3233/BRS-240223>.

بهبود رفتار خمشی تیرهای بتنی مسلح شده با میلگردهای هیبریدی کامپوزیتی و فولادی با جایگزینی بتن HPFRCC بجای بتن معمولی



محمد رضا طالبیان شریف
کارشناس ارشد سازه، دانشگاه سمنان



محمد کاظم شربتدار
استاد دانشکده مهندسی عمران، دانشگاه سمنان
عضو انجمن بتن ایران

چکیده

بتن توانمند الیافی که از الیاف و افزودنی‌ها ساخته شده است، نسبت به بتن معمولی توانایی تحمل کرنش‌های بیشتری دارد. میلگردهای فولادی در محیط‌های مرطوب و خورنده از بین رفته و باعث گسیختگی تیر بتنی می‌شود. یکی از راهکارهای ارائه شده استفاده از میلگردهای FRP می‌باشد. این میلگردها از دوام بالایی نسبت به میلگردهای فولادی برخوردارند. مقاومت کششی بالاتر این میلگردها نسبت نوع فولادی، یکی دیگر از مزایای آن می‌باشد. استفاده از میلگرد FRP در کنار میلگرد فولادی به نسبت استفاده تنها از میلگرد FRP سبب می‌شود خیز قائم وسط تیر کاهش یابد. هدف از این مطالعه بررسی تغییرات حاصل از جایگزینی بتن توانمند الیافی با بتن معمولی می‌باشد. شبیه‌سازی شرایط آزمایشگاهی در نرم افزارهای آکامپیوترا سبب می‌شود تا در زمان و هزینه‌ها صرفه‌جویی شود. روش‌های عددی مانند روش اجزای محدود با بهره‌گیری از دقت قابل قبول محاسبات لازم جهت شبیه‌سازی این شرایط را فراهم می‌کند. نرم افزار آباکوس با استفاده از روش مذکور امکان مدل سازی تیر بتنی را فراهم می‌کند. در این پژوهش ۶ تیر با میلگردهای کششی فولادی، GFRP و به صورت هیبرید در این پژوهش ۶ تیر در سه حالت میلگرد فولادی تنها، GFRP تنها و هیبریدی میلگردهای فولادی-GFRP با دو نوع بتن متفاوت مدل سازی شده و تحت آزمایش خمش چهار نقطه‌ای قرار گرفتند. در این پژوهش با استفاده از منحنی نیرو-جابجایی حاصل شده از نرم افزار آباکوس تغییر پارامترهای مختلف بررسی شد. استفاده از بتن توانمند الیافی در مقایسه با بتن معمولی می‌تواند باعث افزایش جذب انرژی بین ۴۵ تا ۱۴۵٪، شکل پذیری جابجایی تا ۱۲ درصد، جابجایی ترک خوردگی بین ۲۲ تا ۱۰۸٪، نیروی حداکثر بین ۲۸ تا ۶۳٪ و جابجایی گسیختگی تیر بین ۱۵ تا ۳۰٪ شود.

کلمات کلیدی: بتن توانمند الیافی، هیبریدی، میلگرد FRP، جذب انرژی، شکل پذیری

می‌باشد که با استفاده از میلگردهای کششی این مشکل رفع می‌شود. اضافه کردن الیاف به بتن سبب افزایش مقاومت کششی آن می‌شود و مقاومت

۱- مقدمه

بتن یکی از مصالح پرکاربرد در حیطه عمران می‌باشد. ضعف بتن، مقاومت کششی پایین آن

۱۹٪ جذب انرژی به میزان ۳۱٪ در بتن‌های HPFRCC با میلگرد GFRP نسبت به بتن معمولی با همان نوع میلگرد می‌باشد. مقادیر فوق در صورت استفاده از میلگرد فولادی پر مقاومت در بتن‌های الیافی توانمند نسبت به بتن‌های معمولی، به ترتیب ۲۰٪ و ۱۵٪ افزایش می‌یابد [3]. در پژوهشی دیگر موسوی اصفهانی و همکاران با هدف دستیابی به مقاومت کششی بالاتر و رسیدن به کرنش فشاری بیشتر، اقدام به جایگذاری میلگرد GFRP در بتن HPFRCC به جای بتن معمولی کردند. الیاف موجود در بتن الیافی توانمند از جنس فولاد و طول آن برابر ۵۰ میلی‌متر و قطر آن مساوی ۱ میلی‌متر می‌باشد. مقاومت کششی این الیاف برابر ۱۰۵٪ مگاپاسکال است. همچنین درصد الیاف مورد استفاده، برابر ۱٪ حجمی می‌باشد. علاوه بر این مقاومت فشاری نمونه ۲۸ روزه بتن معمولی برابر ۵۵ مگاپاسکال و بتن HPFRCC برابر ۵۹ مگاپاسکال بود. نتایج نشان دادکه در صورت استفاده از میلگرد GFRP و استفاده از آن در بتن HPFRCC به جای بتن معمولی می‌توان شاهد افزایش مقاومت نهایی خمی، جابجایی نهایی و شکل پذیری به ترتیب به میزان ۴۴، ۴۷ و ۵۱٪ بود؛ علاوه بر آن سختی موثر موجود در عضو خمی ۱۱٪ کاهش می‌یابد که علت آن کمتر بودن مدول یانگ بتن توانمند الیافی نسبت به معمولی می‌باشد [4].

فشاری آن را بهبود می‌بخشد. بتن‌های توانمند الیافی از الیاف و افزودنی‌هایی تشکیل شده که مقاومت کششی بتن را افزایش می‌دهد. پس از ظهور ترک در بتن، دچار سخت شدگی کرنشی شده و مقاومت کششی آن با افزایش کرنش افزایش می‌یابد. جایگزینی بتن الیافی با بتن معمولی می‌تواند پارامترهایی نظیر شکل پذیری جابجایی، جذب انرژی و... را افزایش دهد. به غیر از میلگردهای فولادی، میلگردهای FRP می‌تواند به عنوان میلگرد کششی مورد استفاده قرار گیرند. استفاده توأم این دو نوع میلگرد مشخصات تیر را بهبود می‌بخشد.

استفاده از میلگرد CFRP در ستون با مقطع دایره شکل بتنی شکل پذیری و ظرفیت باربری را در مقایسه با استفاده از میلگردهای فولادی به ترتیب ۲۵٪ و ۲۵٪ افزایش می‌دهد [1]. مقاوم سازی تیر بتنی با استفاده از میلگرد GFRP به عنوان میلگرد خمی با استفاده از تکنیک نزدیک سطح^۱ انجام شد. نتیجه حاصل شده نشان داد نیروی ترک خوردگی ۱/۵۵ رشد داشته است. همچنین عرض ترک‌ها کاهش یافته اما تعداد آن‌ها افزایش یافته است [2]. سیجاوندی و همکاران به بررسی تاثیر استفاده از میلگرد GFRP در بتن‌های الیافی پرداختند. نتایج بیانگر افزایش میزان مقاومت ترک خوردگی به میزان ۶۷٪، مقاومت نهایی به میزان

^۱ NSM= near-surface method

کششی که در تیر بتن معمولی رخ داد به شکست برشی-لغزشی تبدیل کند و گسیختگی تیر ساخته شده با HPFRCC را به تاخیر بیندازد. شدن الیاف به بتن می‌تواند باعث افزایش مقاومت کششی بتن به میزان بیش از ۱۰۰٪ شود و مقاومت برشی آن نیز ۲/۱۶ برابر نمونه بتن معمولی می‌باشد و افزایش شکل پذیری سازه و افزایش ۶۰ درصدی جذب انرژی از نتایج این آزمایش هستند [7].

در مطالعه‌ای امیری سوادروبداری و همکاران در مدلسازی تیرهای بتنی کوپله در دیوار برشی با ABAQUS استفاده از بتن HPFRCC در نرمافزار نشان دادند، نمونه‌هایی که نسبت طول تیر به ارتفاع آن ۲ و ۳ می‌باشد، رفتار برشی در تیرها حاکم می‌باشد. در صورتی که نسبت طول تیر به ارتفاع آن ۴ شود، رفتار کاملاً خمثی در آن‌ها حاکم می‌شود. استفاده از بتن‌های الیافی توانمند منجر به افزایش شکل پذیری سازه و مقاومت نهایی آن می‌شود و می‌توان حجم زیادی از آرماتورهای برشی در نمونه‌هایی که نسبت طول تیر به ارتفاع آن ۴ باشد را کاهش داد [8].

ساخت و آزمایش نمونه‌ها در ازمایشگاه نیازمند صرف زمان و هزینه است. از این رو استفاده از نرم افزارهای کامپیوتربی سرعت را افزایش و هزینه‌ها را کاهش می‌دهد. روش‌های عددی مانند روش اجزا محدود در این دسته از نرم افزارها به کار گرفته شده و نتایجی با دقت قابل ارائه می‌کند. در این پژوهش با استفاده از نرم افزار آباکوس، بتن معمولی و بتن

استفاده همزمان از دو نوع الیاف در نسبت‌های مناسب می‌تواند باعث بهبود مشخصات مکانیکی بتن شود. ترکیب الیاف برگ درخت موز^۲ که از نوع الیاف طبیعی و کولار^۳ که نوعی الیاف مصنوعی می‌باشد می‌تواند باعث افزایش مقاومت کششی بتن‌های الیافی شود. همچنین استفاده از الیاف پوسته‌ی نارگیل^۴ و کولار می‌تواند نتایج مشابهی داشته باشد [5]. در مقایسه‌ای، به بتن به صورت جداگانه الیاف فولادی و الیاف شیشه‌ای از نوع E-glass در درصدهای ۰/۵، ۱، ۲ و ۳ اضافه شد. نتیجه می‌شود اضافه کردن الیاف فولادی تا ۳٪ باعث افزایش مقاومت کششی، خمثی و فشاری می‌شود؛ اما اضافه شدن الیاف شیشه‌ای تا ۱٪ باعث افزایش و سپس کاهش مقاومت کششی، خمثی و فشاری می‌شود [6]. خیرالدین و همکاران به بررسی تاثیر استفاده از HPFRCC در تیرهای بتنی همبند در دیوارهای برشی پرداختند. الیاف مورد استفاده در بتن، از نوع الیاف فولادی قلابدار می‌باشد که به نسبت ۷/۲٪ حجمی به بتن اضافه شده است. در این آزمایش از بارگذاری چرخه‌ای استفاده شده است. نتایج حاصل شده نشان داد که استفاده از بتن‌های توانمند الیافی در تیرهای همبند بتنی می‌تواند باعث تغییر در نوع شکست تیر شود و آن را از حالت شکست برشی-

² Banana bract

³ Kevlar

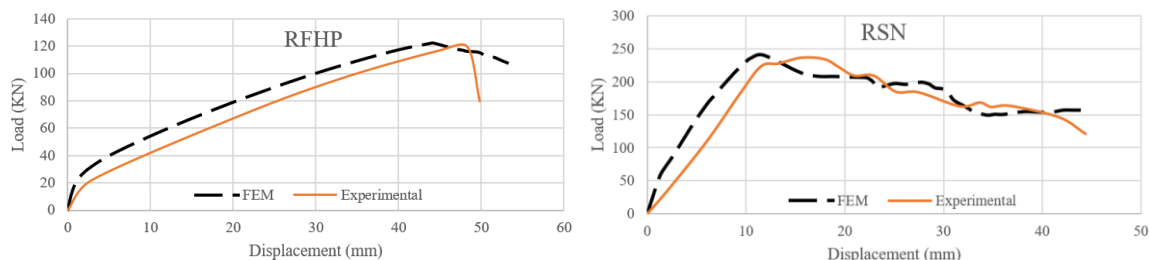
⁴ Palm fiber

RFHP آورده شده است که در شکل ۱ آورده شده است. این مقایسه نشان از همگرایی نتایج دارد. برای مدلسازی بتن‌های مورد استفاده یعنی بتن توانمند یا لیافی و بتن معمولی، منحنی تنش-کرنش متناظر با آن به نرم افزار آباکوس معرفی شده است. در شکل ۲ و ۳ نحوه بارگذاری تیر و شکل شماتیک آن نمایش داده شده است.

توانمند الیافی با استفاده از میلگردهای مختلف برای ساخت تیرهای بتن آرمه مدل شدند.

۲. صحت سنجی

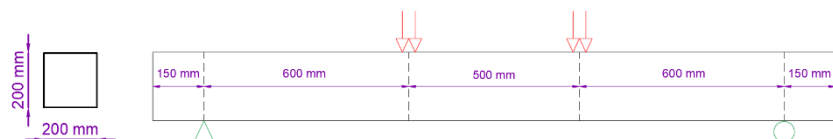
قبل از مدلسازی نمونه‌های موردنظر، ابتدا برای صحت سنجی و کالیبره کردن نرم افزار آباکوس از مطالعه آزمایشگاهی‌ای که توسط مولایی و همکاران انجام شده استفاده شد [۹]. مقایسه نتایج تحلیل عددی و آزمایشگاهی برای دو نمونه RSN و



شکل ۱ - مقایسه منحنی نیرو-جایجایی حاصل از نتایج تحلیل عددی و آزمایشگاهی



شکل ۲ - بارگذاری تیر [۹]



شکل ۳ - شکل شماتیک بارگذاری تیر

گرفته شده است. ابعاد مش با توجه با دو پارامتر زمان حل مساله و دقیقت نتایج ارائه شده انتخاب

برای مشبندی بتن تیر بتونی از مش C3D8R و برای میلگردهای مورد استفاده از مش t3d2 بهره

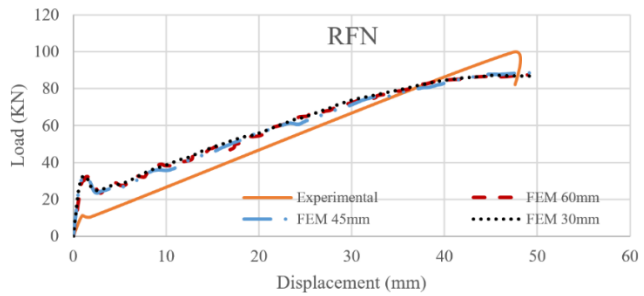
میلگردهای فولادی دارای تنش تسليم و گسیختگی به ترتیب ۴۷۵ و ۵۳۰ مگاپاسکال و کرنش تسليم و گسیختگی به ترتیب ۲۳ و ۰/۰۳ میباشدند. مدول الاستیسیته فولاد نیز برابر ۲۰۰ گیگاپاسکال تعیین شده است.

۲،۲ مشخصات و بارگذاری تیرها

در این پژوهش تعداد ۶ تیر به ابعاد مقطع ۴۰۰ در ۴۰۰ میلیمتر و طول ۴۰۰۰ میلیمتر ساخته و تحلیل شده است. در همه این تیرها از خاموت و میلگردهای فشاری فولادی استفاده شده است. خاموتها به گونهای طراحی شده است تا از شکست برشی جلوگیری شده و تیر بر اساس شستک خمی گسیخته شود. مشخصات تیرها در جدول ۱ ارائه شده است.

در این جدول حروف N, F, H و S به ترتیب بیانگر بتن معمولی، بتن توانمند الیافی، میلگرد GFRP و میلگرد فولادی میباشدند. درصد میلگردهای کششی نسبت به سطح مقطع تیر از کمتر از مقدار بالانس برای همه تیرها میباشد. مقدار بالانس براساس پیشنهاد آییننامه ACI 318-19 محاسبه شده است. همچنین بارگذاری تیرها به صورت خمس چهار نقطه ای میباشد.

میشود. برای صحت سنجی و انتخاب ابعاد مش، نمونه RFN با سه اندازه متفاوت ۴۵، ۳۰ و ۶۰ میلیمتر مشبندی شد و نتایج آن مقایسه شد. با ریزتر شدن ابعاد مشبندی دقیق نتایج بالاتر میرود اما زمان حا مساله به طور قابل توجهی افزایش پیدا میکند. اندازه ۴۵ میلیمتر به عنوان ابعادی که زمان مناسبی برای حل دارد و از دقیق قابل قبولی برخوردار است به عنوان اندازه مناسب اتخاذ میگردد. مقایسه ابعاد مش در شکل ۴ آورده شده است.



شکل ۴ - آنالیز حساسیت ابعاد مشبندی

۱،۲ مصالح و مشخصات آنها

برای ساخت تیرهای بتنی از دو نوع بتن استفاده شده است. نوع اول بتن معمولی با مقاومت فشاری ۲۸ روز ۳۸ مگاپاسکال و نوع دوم بتن توانمند الیافی با ۱/۵٪ الیاف فولادی و مقاومت فشاری ۲۸ روز ۳۴ مگاپاسکال میباشدند. میلگردهای GFRP دارای مدول الاستیسیته و تنش گسیختگی به ترتیب ۴۶ و ۶۶۴ گیگاپاسکال میباشند.

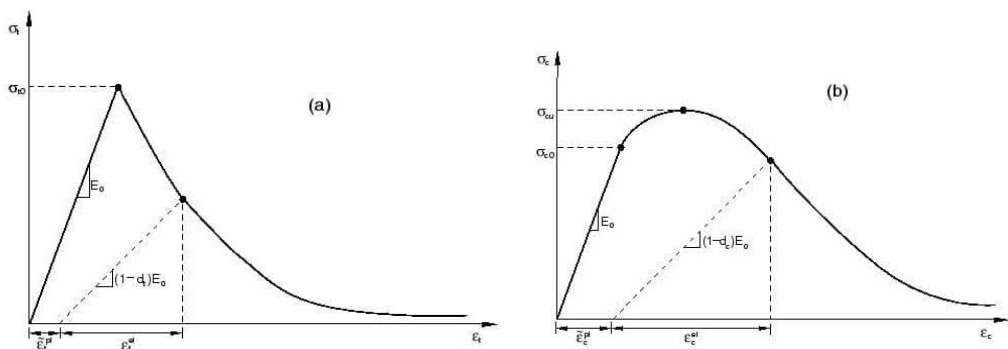
جدول ۱- مشخصات تیرها

نام نمونه	اندازه میلگرد کششی	اندازه و نوع میلگرد فشاری	نوع بتن	درصد میلگرد کششی نسبت به سطح مقطع
AFNC	2Φ20 F	2Φ20 S	معمولی	$\rho_F: 0/003927$
AFNC	2Φ20 F	2Φ20 S	توانمند الیافی	$\rho_F: 0/003927$
ASNC	3Φ28 S	2Φ20 S	معمولی	$\rho_s: 0/011545$
ASNC	3Φ28 S	2Φ20 S	توانمند الیافی	$\rho_s: 0/011545$
AFSNC	2Φ20 S + 1Φ20 F	2Φ20 S	معمولی	$\rho_s: 0/00393, \rho_F: 0/00196$
AFSNC	2Φ20 S + 1Φ20 F	2Φ20 S	توانمند الیافی	$\rho_s: 0/00393, \rho_F: 0/00196$

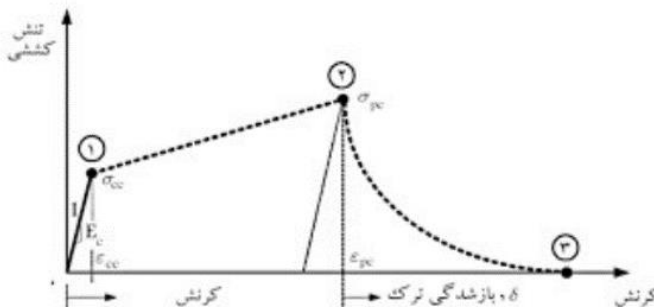
در نظر گرفته شد. میلگردها به صورت المان‌های دو بعدی و تیر بتنی به صورت المان سه بعدی ساخته شد. لذا برای مش بندي این المان‌ها به ترتیب از مش R و C3D8R t3d2 استفاده شد. شایان ذکر است اندازه هر بعد شبکه مش برابر ۴۵ میلی‌متر می‌باشد. منحنی تنش کرنش بتن‌ها در شکل‌های ۳ و ۴ نمایش داده شده است.

۳.۲ مدلسازی در نرم افزار آباکوس

برای مدلسازی تیرهای بتنی مسلح شده با میلگرد، از مدل CDP استفاده می‌شود. مشخصات مصالح و تیرها در نرم افزار وارد می‌شود. برای تحلیل تیرها از حلگر Static، General بهره گرفته شده است. به منظور شبیه سازی دقیق تیر ساده، یکی از تیکه گاه‌ها به صورت غلطک و دیگری به صورت مفصل

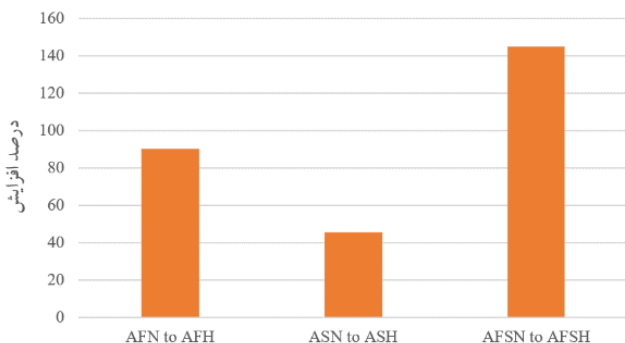


شکل ۳- منحنی تنش-کرنش بتن تحت کشش (راست) و تحت فشار (چپ)



شکل ۴- منحنی تنش-کرنش بتن توانمند الیافی در کشش

است. این جایگزینی در نمونه ASN و AFN به ترتیب افزایش ۱۳/۹۰، ۶۲/۴۵ و ۹۲/۱۴۴ درصدی را به همراه دارد.



شکل ۶- درصد افزایش جذب انرژی با جایگزینی بتن توانمند الیافی با بتن معمولی

۳.۲ شکل پذیری جابجایی

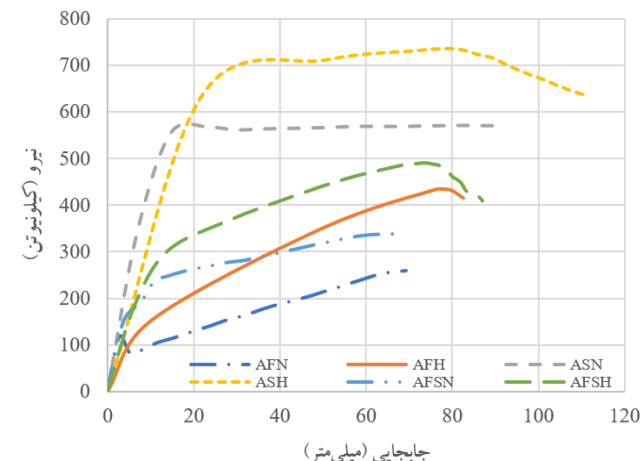
شکل پذیری جابجایی عبارت است از نسبت جابجایی نهایی به جابجایی تسليم میلگردهای فولادی؛ لذا درصد افزایش شکل پذیری جابجایی با تغییر نوع بتن، برای نمونه‌های ASN، ASH، AFN و AFSN بررسی می‌شود. تغییرات نوع بتن سبب می‌شود تا شکل پذیری جابجایی در نمونه ASN هنگام تغییر نوع بتن از معمولی به توانمند الیافی ۱۱/۹۲٪ و در نمونه AFSN این افزایش برابر ۱۱/۸۲٪ می‌باشد.

۳.۳ نیرو و جابجایی ترک خوردگی

نیروی ترک خوردگی در نمونه AFH و AFN به ترتیب برابر ۱۱۶/۲۴ و ۱۱۴/۷۶ کیلونیوتن می‌باشد. جابجایی ترک خوردگی برای نمونه‌های ذکر شده برابر ۲/۳۹ و ۴/۹۸ میلی‌متر می‌باشد. در نمونه‌هایی که از میلگرد فولادی به عنوان آرماتور کششی استفاده شده است یعنی نمونه‌های ASH و ASN نیروی ترک خوردگی به ترتیب برابر ۲۱۵/۶۹ و

۳. نتایج تحلیل عددی

منحنی نیرو-جابجایی مقاطع ذکر شده در شکل ۵ ارائه شده است. بر اساس این منحنی به بررسی تغییرات حاصل از جایگزینی بتن توانمند الیافی به جای بتن معمولی با میلگردهای کششی مختلف پرداخته می‌شود.

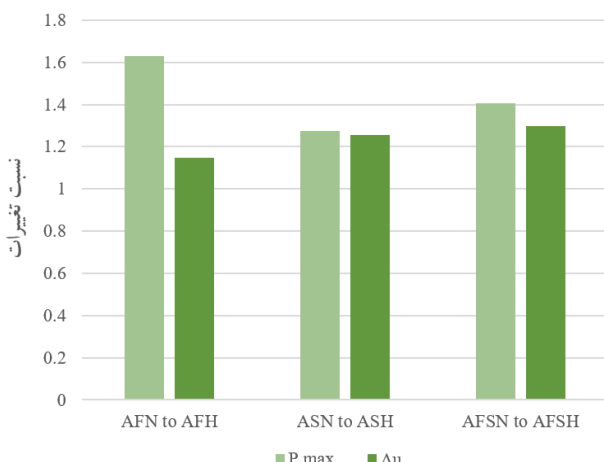


شکل ۵- منحنی نیرو-جابجایی برای همه نمونه‌ها

۳.۱ جذب انرژی

مقدار جذب انرژی از محاسبه سطح زیر منحنی نیرو-تغییر مکان به دست می‌آید. سطح زیر منحنی مذکور از آغاز بارگذاری تا شکست نمونه یا ۰/۸۵ نیرو حداقل تعریف می‌شود. این پارامتر توانایی استهلاک انرژی به وسیله هر نمونه را نشان می‌دهد. جذب انرژی سبب می‌شود تا اجزای سازه در برخورد با راهایی نظیر زلزله، به جای نشان دادن رفتار صلب، با ارتعاشات همراه شده و با ورود به ناحیه پلاستیک سبب جذب و استهلاک آنها می‌شود. در شکل ۶ به درصد افزایش جذب انرژی در صورت جایگزین شدن بتن معمولی با بتن توانمند الیافی پرداخته شده

اشاره شده به ترتیب برابر ۸۷/۷۸ و ۱۱۰/۱۸ میلی‌متر می‌باشد. در تیرهای هیبریدی در نمونه AFSH و AFSN نیروی حداکثر به ترتیب برابر ۴۲۳/۰۳ و ۲۵۹/۶ کیلونیوتن می‌باشد. جابجایی نهایی برای نمونه‌های ذکر شده برابر ۷۰/۷۵ و ۸۱/۳۲ میلی‌متر می‌باشد. در شکل ۸ نسبت تغییرات نیرو حداکثر و جابجایی نهایی برای نمونه‌ها با تغییر نوع بتن آورده و مقایسه شده است.



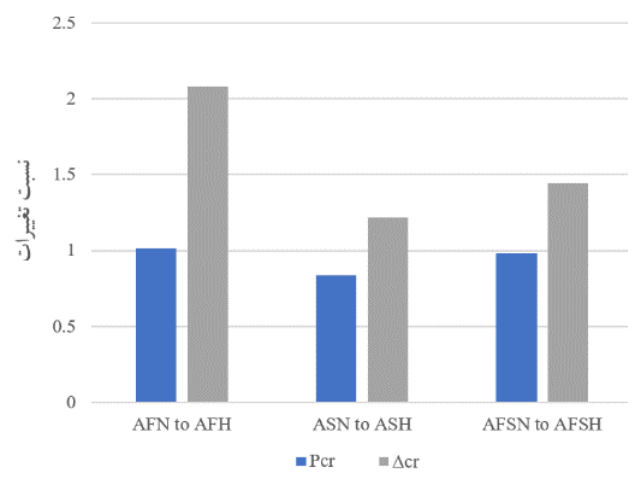
شکل ۸- نسبت تغییرات نیرو حداکثر و جابجایی نهایی با تغییر نوع بتن

۴. جمع بندی

بررسی کلی نتایج نشان می‌دهد بتن توانمند الیافی گرینه مناسبی برای جایگزینی بتن معمولی در شرایطی که نیاز به ظرفیتهای مختلف بیشتری باشد، می‌باشد و نتایج زیر نیز حاصل گردیده است:

- جذب انرژی در نمونه‌ها افزایشی بین ۴۵/۶۲ تا ۱۱/۹۲٪ و کل پذیری جابجایی افزایشی معدل ۱۱/۸۲ تا ۱۱/۹۲٪ داشت.
- نیرو ترک خوردنی در نمونه‌ای که فقط از میلگرد GFRP استفاده شده ۱/۳٪ افزایش و در دو نمونه

۱۸۰/۴ کیلونیوتن می‌باشد. جابجایی ترک خوردنی در نمونه‌های اشاره شده به ترتیب برابر ۳/۵۳ و ۴/۳۱ میلی‌متر می‌باشد. در تیرهای هیبریدی در نمونه AFSH و AFSN نیروی ترک خوردنی به ترتیب برابر ۱۵۳/۴ و ۱۵۰/۹ کیلونیوتن می‌باشد. جابجایی ترک خوردنی برای نمونه‌های ذکر شده برابر ۳/۰۸ و ۴/۴۵ میلی‌متر می‌باشد. در شکل ۷ نسبت تغییرات نیرو ترک خوردنی و جابجایی ترک خوردنی برای نمونه‌ها با تغییر نوع بتن آورده و مقایسه شده است.



شکل ۷- نسبت تغییرات نیرو و جابجایی ترک خوردنی با تغییر نوع بتن

۳.۴ نیرو و جابجایی حداکثر

نیروی حداکثر در نمونه AFN و AFSH به ترتیب برابر ۴۲۳/۰۳ و ۲۵۹/۶ کیلونیوتن می‌باشد. جابجایی نهایی برای نمونه‌های ذکر شده برابر ۷۰/۷۵ و ۸۱/۳۲ میلی‌متر می‌باشد. در نمونه‌هایی که از میلگرد فولادی به عنوان آرماتور کششی استفاده شده است یعنی نمونه‌های ASN و ASH نیروی حداکثر به ترتیب برابر ۷۴۱/۷۳ و ۵۸۲/۱۴ کیلونیوتن می‌باشد. جابجایی نهایی در نمونه‌های

- تحمل کرنش‌های بیشتر در بتن توانمند الیافی باعث می‌شود تا گسیختگی تیر به تاخیر افتاده و دیگر کاهش ۱۶/۴ درصدی در تیر با میلگرد فولادی و کاهش ۱/۷٪ در نمونه هیبرید را تجربه می‌کند
- جابجایی ترک خوردگی در نمونه ۲۱/۸ تا ۰/۲۹/۸٪ گسیختگی تیر ۱۴/۹۵ تا ۰/۳۷٪ افزایش و مقاومت حداکثر تیر به اندازه افزایش پیدا کند.
- جابجایی ترک خوردگی در نمونه ۲۱/۸ تا ۰/۳۷٪ افزایش و مقاومت حداکثر تیر به اندازه افزایش ۰/۶۲/۹٪ افزایش پیدا کرد.

۵. منابع

- [1] Zhao J, Ren W, Ruan X, Gong X, Si C. Experimental Study on the Seismic Performance of Columns Reinforced by the CFRP Bar and Sheet. *Appl Compos Mater.* 2021;28(4):1291–313.
<https://doi.org/10.1007/s10443-021-09914-x>
- [2] Hosen MA, Alengaram UJ, Jumaat MZ, Sulong NHR, Darain KM ud. Glass Fiber Reinforced Polymer (GFRP) Bars for Enhancing the Flexural Performance of RC Beams Using Side-NSM Technique. *Polymers (Basel).* 2017;9(12):180.
- [3] Sijavandi K, Sharbatdar MK, Kheyroddin A. Experimental evaluation of flexural behavior of high-performance fiber reinforced concrete beams using GFRP and high strength steel bars. In: *Structures 2021 Oct 1 (Vol. 33, pp. 4256-4268).* Elsevier.
- [4] Esfahani SV, Sharbatdar MK. Substitution effects of conventional concrete with high-performance fiber-reinforced cementitious composite (HPFRCC) in beams reinforced with GFRP bars. Case Studies in Construction Materials. 2020 Dec 1;13:e00440.
- [5] Ahmed A, Guo S, Zhang Z, Shi C, Zhu D. A review on durability of fiber reinforced polymer (FRP) bars reinforced seawater sea sand concrete. *Constr Build Mater.* 2020;256:119484.
<https://doi.org/10.1016/j.conbuildmat.2020.119484>
- [6] Arunakanthi E, Kumar JDC. Experimental studies on fiber reinforced Concrete (FRC). *Int J Civ Eng Technol.* 2016;7(5):329–36.
- [7] خیرالدین ع، دهقان م، شربیدار مک. بهبود سازه‌ای تیر رابط دیوارهای برشی همبند با جایگزینی بتن الیافی توانمند با بتن. نشریه مهندسی عمران امیرکبیر. ۱۳۹۷؛۳(۵۰):۱۶-۵۰.
- [8] امیری سوادروباری ا. بررسی آزمایشگاهی و عددی رفتار برشی و خمشی تیرهای کوپله بتونی ساخته شده با بتن‌های الیافی توانمند در دیوار برشی کوپله. دانشگاه سمنان، دانشکده مهندسی عمران؛ ۱۳۹۰.
- [9] Moolaei S, Sharbatdar MK, Kheyroddin A. Experimental evaluation of flexural behavior of HPFRCC beams reinforced with hybrid steel and GFRP bars. *Compos Struct.* 2021;275(June):114503.
<https://doi.org/10.1016/j.compstruct.2021.114503>

ارزیابی عملکرد ساختمان با قاب خمثی بتنی و دیوار برشی بتن مسلح مجهر

به میلگردهای آلیاژ حافظه‌دار شکلی در برابر زلزله



حسین لطفی

کارشناسی ارشد مهندسی عمران زلزله، دانشکده مهندسی
عمران، آب و محیط زیست، دانشگاه شهید بهشتی



علیرضا باقرشمیرانی

عضو هیات علمی دانشکده مهندسی عمران، آب و محیط
زیست، دانشگاه شهید بهشتی

چکیده

اثر میلگردهای آلیاژ حافظه‌دار شکلی اغلب هنگام بررسی عملکرد ساختمان‌ها در مناطق حساس به زلزله‌های قوی رخ می‌دهد که در آن قاب خمثی بتنی مسلح ویژه به همراه دیوار برشی به طور معمول به عنوان یک سیستم مقاوم در برابر نیروی جانبی استفاده می‌شوند. اگرچه عملکرد لرزه‌ای این نوع ساختمان‌ها توسط خصوصیت شکل‌پذیری از نوع ویژه بهبود یافته است، اما اثر تجهیز ساختمان‌ها بتنی مسلح با قاب خمثی ویژه و دیوار برشی مجهر به میلگردهای آلیاژ حافظه‌دار شکلی هنوز به خوبی بررسی نشده است؛ بنابراین بررسی اثر میلگردهای آلیاژ حافظه‌دار شکلی بر عملکرد لرزه‌ای ساختمان بتنی مسلح با سیستم باربر لرزه‌ای قاب خمثی ویژه و دیوار برشی تقویت شده با انواع میلگردهای دارای آلیاژ حافظه‌دار شکلی ضرورت می‌یابد. در این تحقیق به مدلسازی یک ساختمان ۱۲ طبقه قاب خمثی پرداخته شده است. نتایجی نظری میانگین کاهش وزن ساختمان به میزان تقریبی $0,32$ درصد و میانگین کاهش لنگر تکیه‌گاهی ساختمان به میزان تقریبی $9,6$ درصد و میانگین کاهش تغییر جایگایی به میزان حدود $63,9$ درصد نسبت به ساختمان بدون میلگردهای با آلیاژ حافظه‌دار شکلی، از مزایای این سیستم می‌باشد.

وازگان کلیدی: میلگردهای آلیاژ حافظه‌دار شکلی، قاب بتنی مسلح، سیستم باربر قاب خمثی، دیوار برشی

۱- مقدمه

ایران جز مناطق لرزه‌خیز است که دارای گسل‌های فعال زیادی است. با توجه به اینکه خصوصیت‌های زلزله‌ها هم به لحاظ دامنه و هم محتوای فرکانسی

برای ساختگاه‌ها متفاوت است. بررسی تاثیر میلگردهای دارای آلیاژ حافظه‌دار شکلی در زلزله روی عملکرد ساختمان با قاب خمثی بتن مسلح به همراه دیوار برشی یک روش مناسب جهت بهبود

انتظار شبیه سازی شود. نتایج حاصل از بررسی تجربی- عددی تیرهای بتن مسلح با استفاده از میلگردهای آلیاژ حافظه دار شکلی بیانگر این موضوع است که جابجایی مفاصل پلاستیک، با قرار دادن میلگردهای آلیاژ حافظه دار شکلی مس-آلミニم- منگنز، دور از انتهای تیر، استحکام و اتلاف انرژی را بهبود بخشیده است. اگرچه تاثیر مدت زمان حرکت زمین ناشی از زلزله بر پایداری سازه به طور گسترده‌ای بررسی شده است، ولی تاثیر آن بر پاسخ سازه موضوعی است که مورد بحث است. با انجام تحلیل دینامیکی افزایشی بر روی مدل‌های چند درجه آزادی غیرخطی ساختمان‌های اسکلت بتنی مسلح با ویژگی‌های سازه‌ای متفاوت، تاثیر مدت زمان حرکت زمین ناشی از زلزله بر ریزش سازه‌های بتن مسلح توسط رقوناندان و همکاران³ [2] بررسی شده است. از روش‌های رگرسیون مدل‌سازی خطی تعمیم‌یافته برای پیش‌بینی ظرفیت فروپاشی یک سازه استفاده گردیده است و مدت زمان حرکت زمین ناشی از زلزله پیش‌بینی‌کننده معیار قابل توجهی برای مقاومت فروپاشی می‌باشد. در نتیجه، در مقایسه با حرکت زمین با مدت زمان کوتاه‌تر که شدت حرکت زمین یکسان است، خطر فروپاشی ساختمان‌های مورد تجزیه و تحلیل با قرار گرفتن در معرض حرکت زمین با مدت طولانی‌تر

عملکرد لرزه‌ای است که خسارت مستقیم و غیرمستقیم وارد بر سازه در اثر وقوع زلزله را کاهش می‌دهد.

۲. سابقه انجام پژوهش

سیستم‌های مقاوم در برابر زلزله به دلیل پتانسیل اميدوارکننده‌ای که در کنترل تغییرمکان نسبی باقی‌مانده لرزه‌ای و در نتیجه کاهش هزینه‌های تعمیرات مرتبط دارند، توجه محققان را به خود جلب کرده است. استفاده از آلیاژ حافظه دار شکلی¹ فوق اجتماعی نیکل-تیتانیوم بخش قابل توجهی از تحقیق پاریک و همکاران² [1] را تشکیل می‌دهد. آلیاژ حافظه دار شکلی فوق اجتماعی مس-آلミニم- منگنز در سالهای اخیر برای حذف هزینه بالای آلیاژ حافظه دار شکلی نیکل-تیتانیوم و همچنین برای داشتن ویژگی‌های ماشینکاری بهتر توسعه یافته است. این پژوهش استفاده از میلگردهای آلیاژ حافظه دار شکلی مس-آلミニم- منگنز را برای جابجایی مفصل پلاستیک تیرهای بتنی مسلح از طریق یک مطالعه تجربی- عددی بررسی می‌نماید. محل میلگردهای آلیاژ حافظه دار شکلی برای هر یک از تیرهای مورد بررسی متفاوت می‌باشد. بارگذاری تیرها به گونه‌ای است که نمودار لنگر در میانه دهانه صفر و در انتهای حداکثر باشد تا عملکرد لرزه‌ای مورد

³ Raghunandan et al. (2013)

¹ Shape Memory Alloy (SMA)

² Pareek et al. (2018)

بتن مسلح را بررسی نموده تا طول مفصل پلاستیک عرض ترک و فاصله ترک را برای عناصر بتنی مسلح تقویت شده با میلگرد های دارای آلیاژ حافظه دار شکلی فوق ارجاعی پیش بینی نماید. در این تحقیق، میزان بار- جابجایی پیش بینی شده، روابط لنگر- دوران و ظرفیت های اتلاف انرژی با نتایج تجربی مطابقت خوبی داشته اند. عملکرد لرزه ای ساختمان های اسکلت بتنی تقویت شده با میلگرد فوق ارجاعی آلیاژ حافظه دار شکلی بر حسب نسبت حاشیه فروپاشی^۵ توسط منتسر و همکاران^۶ [4] ارزیابی گردیده است. مقدار CMR نسبت شدت حرکت زمین در فروپاشی میانه به حداقل شدت حرکت زمین لرزه در نظر گرفته شده است. نتایج با عملکرد قاب های بتنی تقویت شده تنها با میلگرد فولادی معمولی مقایسه شده است. ارزیابی این میانه فروپاشی با استفاده از بار تغییر مکان استاتیک غیر خطی و تحلیل دینامیکی افزایشی غیر خطی^۷ با بیست رکورد حرکت زمین انجام شده است. برای تجزیه و تحلیل، سه طبقه مختلف سوم و ششم و هشتم، از ساختمان های بتن مسلح که هر کدام دارای چهار نوع مختلف جزئیات آرماتور هستند، در نظر گرفته شده است. نتایج حاکی از افزایش ظرفیت فرو ریختن سازه های قاب بتنی سه و هشت طبقه در

بیشتر است. مدت زمان حرکت زمین بر ظرفیت فروپاشی سازه های بتنی مسلح بسیار فرسوده و غیر شکل پذیر و تخریب یافته تاثیر می گذارد. بنابراین توصیه می شود در طراحی سازه و ارزیابی خطر لرزه ای، مدت زمان حرکت زمین علاوه بر شدت و محتوای فرکانسی آن در نظر گرفته شود. آلیاژ های حافظه دار شکلی فوق ارجاعی، مواد منحصر به فردی هستند که توانایی تغییر شکل های بزرگ را دارند و می توانند با حذف تنش به شکل تغییر شکل نیافته خود بازگردند. اگر چنین موادی را بتوان به عنوان تقویت کننده در نواحی مفاصل پلاستیک اجزای تیر- ستون استفاده کرد، نه تنها تغییر شکل های غیر ارجاعی بزرگی را در طول زلزله های قوی تجربه می کنند، بلکه می توانند به طور بالقوه، شکل اصلی خود را بازیابی کنند. این رفتار باعث کاهش مشکل تغییر شکل دائمی می شود. آلام و همکاران^۸ [3] پژوهشی را با هدف ایجاد دستورالعمل هایی برای پیش بینی رفتار لرزه ای عناصر تیر- ستون بتنی مسلح تقویت شده با میلگرد های دارای آلیاژ حافظه دار شکلی فوق ارجاعی انجام داده اند. این مطالعه، تفاوت هایی را در رابطه لنگر- انحنای بین آلیاژ حافظه دار شکلی و مقاطع تقویت شده فولادی شناسایی نموده است. کاربرد روش های موجود توسعه یافته برای اعضای

⁵ Collapse margin ratio (CMR)

⁶ Muntasir et al. (2021)

⁷ Incremental dynamic analysis (IDA)

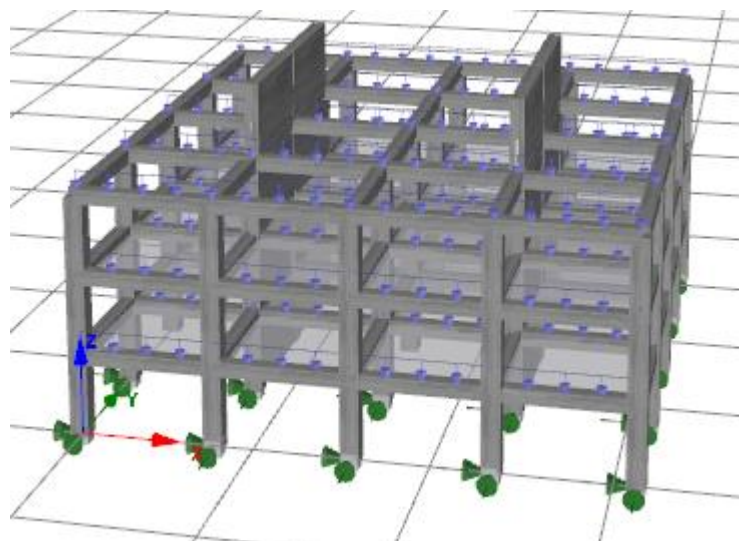
⁴ Alam et al., 2008

میلگردهای آلیاژ حافظه دار شکلی برای تحلیل و طراحی استفاده شده است. همانطور که در شکل ۱ نشان داده شده است، پلان ساختمان ۲۰ متر در ۲۰ متر با دهانه ۵ متر می باشد. ارتفاع هر طبقه ۳ متر در نظر گرفته شده است و همچنین مقطع ستونها با ابعاد $70*70$ سانتی متر، تیرها با ابعاد $55*55$ سانتی متر و دیوارهای برشی با ابعاد $55*300$ سانتی متر در کلیه طبقه‌ها به صورت یکسان می باشد.

حین استفاده از SMA به عنوان تقویت کننده است. ضریب اصلاح پاسخ لرزه‌ای برای قاب بتنی تقویت شده با آلیاژ حافظه دار شکلی نیز بر اساس نسبت حاشیه فروپاشی قابل قبول مطابق دستورالعمل‌های ارائه شده ارزیابی شده است.

۳. چیدمان و طراحی ساختمان

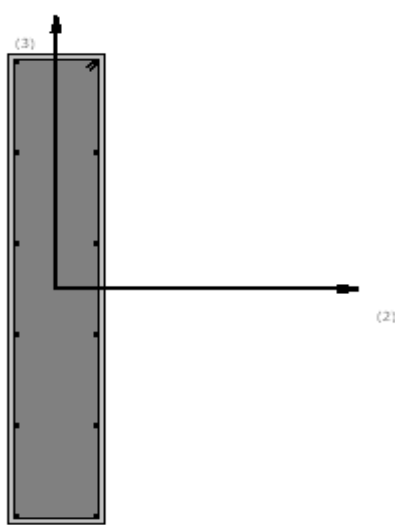
مدلسازی عددی اعضا بتنی برای تحلیل پاسخ آنها تحت بارگذاری روشی متداول است [5]. در این تحقیق از یک ساختمان بتنی ۱۲ طبقه با سیستم باربر قاب خمشی و دیوار برشی تقویت شده با



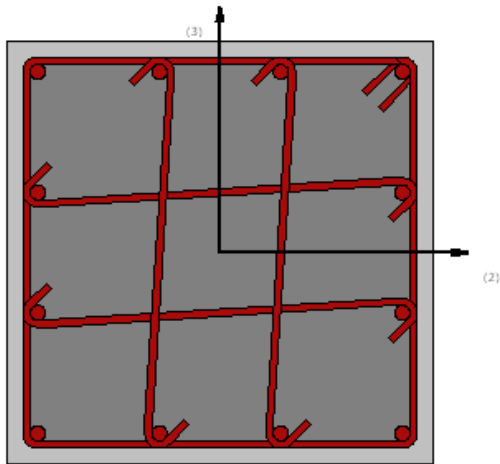
شکل ۱: طرح پلان

متربع) فرض شده است. شکل ۲ مقطع ستونها، تیرها و دیوارهای برشی را نمایش می‌دهد. در این تحقیق سه مورد FeNCATB، NiTi (SMA1)، SE-SMA با نامهای (SMA2) و (SMA3) و CuAlMn (SMA2) به عنوان تقویت کننده در ستونها، تیرها و دیوارهای برشی مورد استفاده قرار گرفته‌اند که شکل ۳ مشخصات سه نوع میلگرد با آلیاژ حافظه دار شکلی را نمایش می‌دهد.

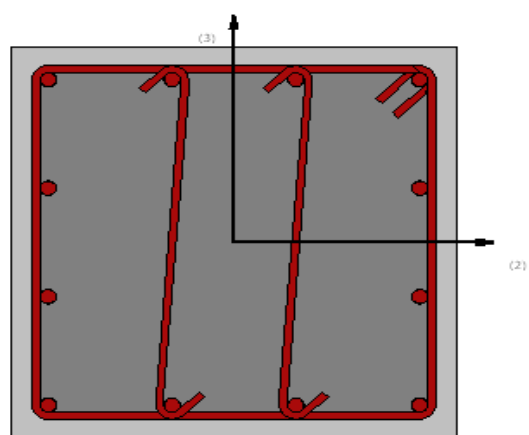
مقاومت جانبی در هر دو جهت توسط قاب خمشی و بیژه به همراه دیوار برشی تامین می‌شود. این سیستم باربر به روش نیروی جانبی بر اساس آینین نامه ASCE 41-17 طراحی شده است. مقاومت فشاری بتن، ۳۵ مگاپاسکال و تنش جاری شدن فولاد در میلگردها برابر با ۴۰۰ مگاپاسکال فرض شده است. بار زنده و بار مرده به ترتیب برابر با ۱,۵ (کیلونیوتون بر مترمربع) و ۳,۵ (کیلونیوتون بر مترمربع) فرض شده است.



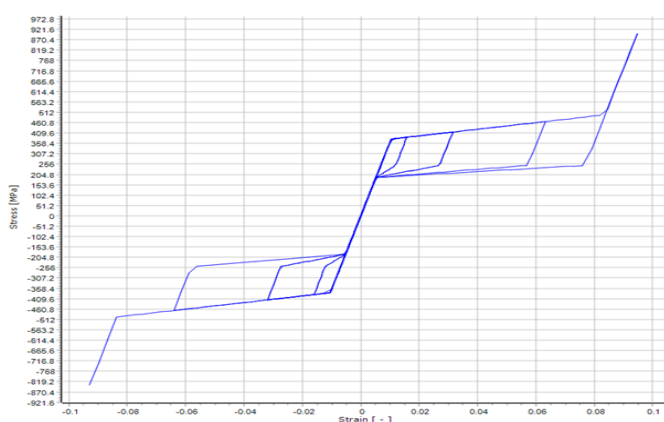
شکل ۲ ج: مقطع دیوار برشی ها (۱۲ عدد آرماتور طولی نمره ۲۰، آرماتور عرضی نمره ۱۰ (خاموت) در فواصل ۱۰ سانتیمتر)



شکل ۲-الف: مقطع ستونها (۱۲ عدد آرماتور طولی نمره ۲۵، آرماتور عرضی نمره ۱۲ (خاموت) به همراه ۴ عدد قلاب در فواصل ۱۰ سانتی‌متر)

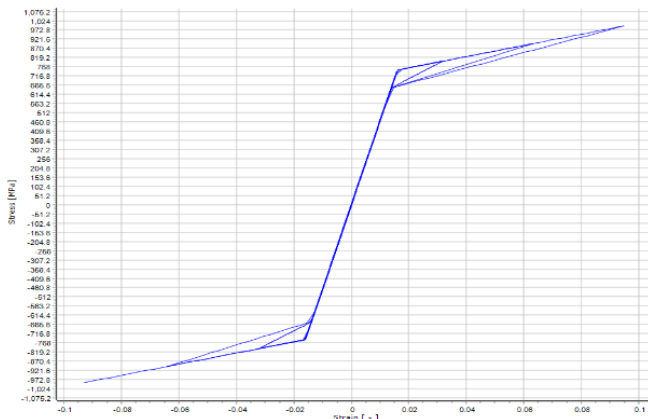


شکل ۲ ب: مقطع تیرها (۱۲ عدد آرماتور طولی نمره ۲۰، آرماتور عرضی نمره ۱۰ (خاموت) به همراه ۲ عدد قلاب در فواصل ۱۰ سانتیمتر)



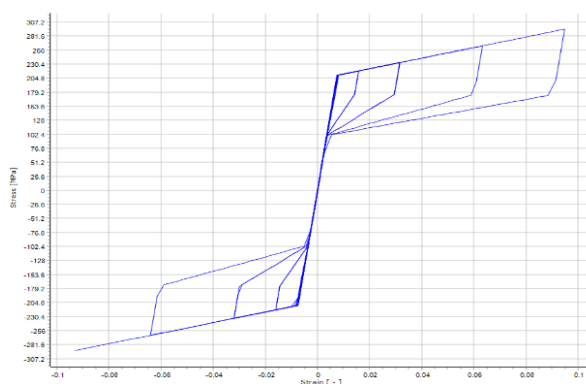
Modulus of elasticity E (kPa)	3.6459E+007
Austenite-to-martensite starting stress (kPa)	380000.00
Austenite-to-martensite finishing stress (kPa)	500000.00
Martensite-to-austenite starting stress (kPa)	250000.00
Martensite-to-austenite finishing stress (kPa)	190000.00
Superelastic plateau strain length (%)	7.00
Specific Weight (kN/m³)	65.00

شکل ۳- مشخصات سه نوع آلیاژ حافظه دار شکلی) الف: مشخصات SMA1



ب: مشخصات SMA2

Modulus of elasticity E (kPa)	4.6900E+007
Austenite-to-martensite starting stress (kPa)	750000.00
Austenite-to-martensite finishing stress (kPa)	1.2000E+006
Martensite-to-austenite starting stress (kPa)	1.1000E+006
Martensite-to-austenite finishing stress (kPa)	650000.00
Superelastic plateau strain length (%)	13.50
Specific Weight (kN/m ³)	65.00



ج: مشخصات SMA3

Modulus of elasticity E (kPa)	2.8000E+007
Austenite-to-martensite starting stress (kPa)	210000.00
Austenite-to-martensite finishing stress (kPa)	300000.00
Martensite-to-austenite starting stress (kPa)	175000.00
Martensite-to-austenite finishing stress (kPa)	100000.00
Superelastic plateau strain length (%)	9.00
Specific Weight (kN/m ³)	65.00

ساختمان بتنی و محل استقرار دیوار برشی در در

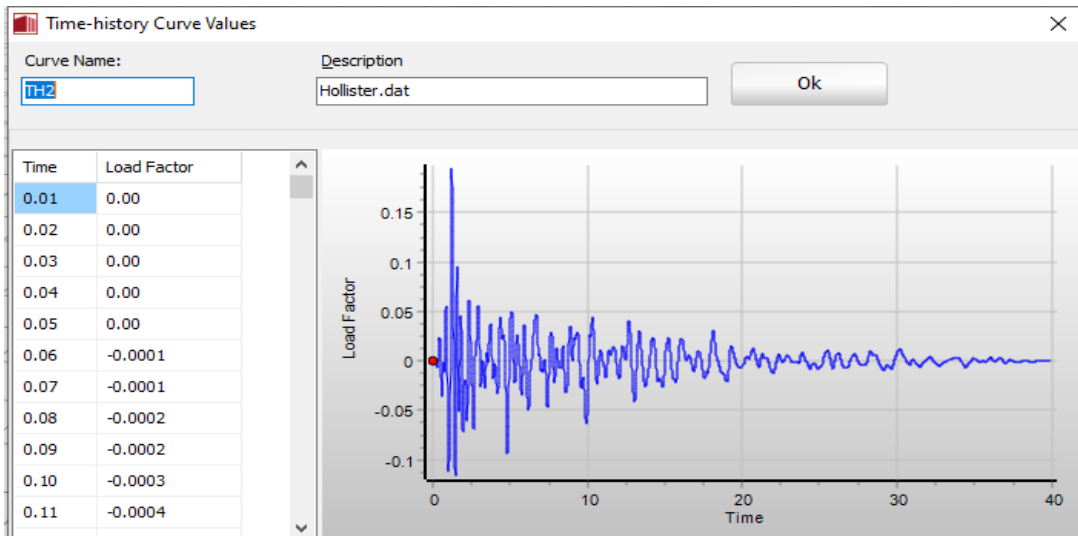
شکل ۵ موجود می‌باشد.

پس از تحلیل تاریخچه زمانی دینامیکی ساختمان فوق، تغییر مکان نسبی در دو حالت تجهیز نمودن ستونها، تیرها و دیوارهای برشی به سه نوع میگردد. حافظه دار شکلی و بدون آن ها به صورت جدول ۱، محاسبه گردید.

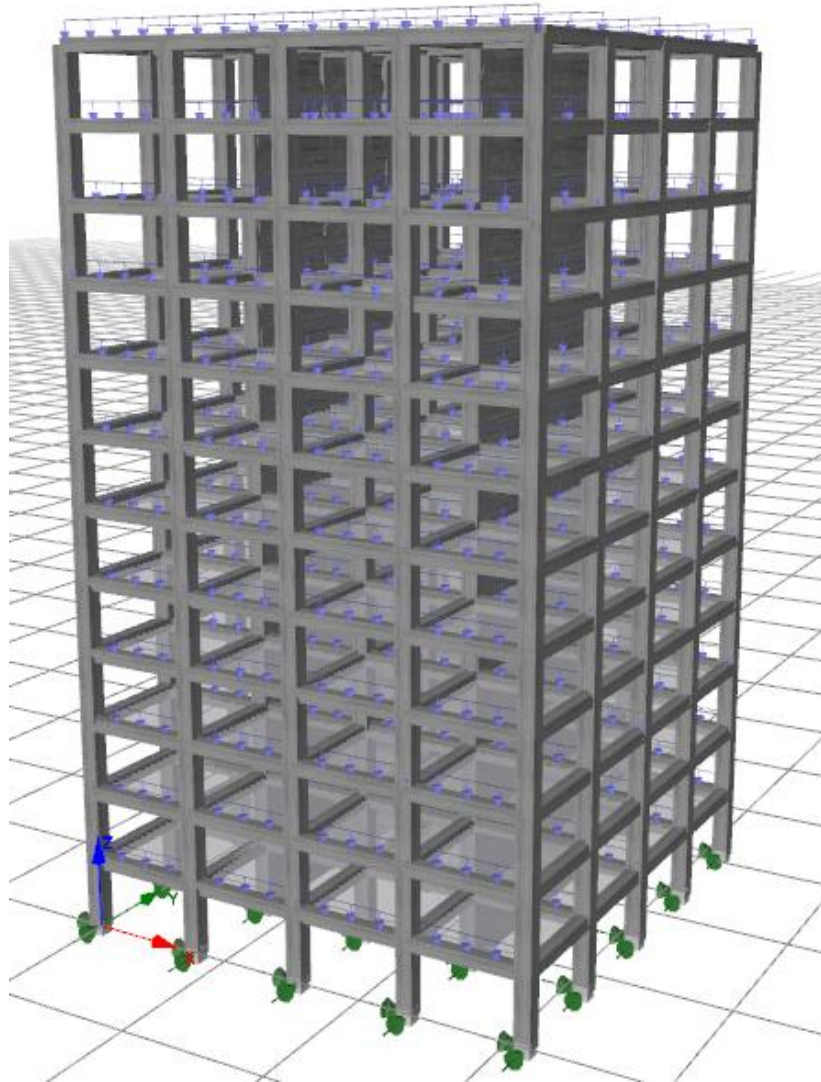
۴. مدلسازی عددی

ساختمان مورد مطالعه توسط نرم افزار Seismostruct مدلسازی شده است. المانهای آن با استفاده از جابجایی یک عنصر تیر-ستون با یک فایبر ۱۵۰ در ۵ معادل شده است. ساختمان مورد مطالعه تحت رکورد زلزله هالیست^۸ به صورت تاریخچه زمانی دینامیکی، مطابق شکل ۴، تحلیل و آنالیز شده است، لازم به ذکر است تعداد طبقات

⁸ Holister USA., April 09, 1961



شکل ۴: رکورد زلزله هالیستر



شکل ۵- مشخصات سه نوع آلیاز حافظه دار شکلی

جدول ۱: تغییر مکان نسبی طبقات در حالت‌های تجهیز شده با و بدون میلگرد حافظه‌دار شکلی

نوع میلگرد حافظه‌دار شکلی	وزن سازه (کیلونیوتن)	لنگر تکیه گاهی (کیلونیوتن-متر)	برش پایه (کیلونیوتن)	طبقه	جابجایی نسبی
بدون میلگرد حافظه دار شکلی	۶۲۳۳۵,۷	۱۹۵۲۶,۵۱	۸۱۹۲,۶۰	۱	۰,۰۰۶
				۲	۰,۰۰۹
				۳	۰,۰۰۹
				۴	۰,۰۰۸
				۵	۰,۰۰۹
				۶	۰,۰۰۹
				۷	۰,۰۰۸
				۸	۰,۰۰۸
				۹	۰,۰۰۹
				۱۰	۰,۰۰۹
				۱۱	۰,۰۰۷
				۱۲	۰,۰۰۵
SMA1	۶۲۱۳۷,۳۸	۱۷۶۲۶,۴۱	۸۰۵۹,۹۶	۱	۰,۰۰۸
				۲	-۰,۰۱۱
				۳	۰,۰۱۱
				۴	۰,۰۱۱
				۵	-۰,۰۱۱
				۶	۰,۰۱۱
				۷	۰,۰۱۲
				۸	-۰,۰۱۳
				۹	-۰,۰۱۳
				۱۰	-۰,۰۱۳
				۱۱	-۰,۰۱۱
				۱۲	-۰,۰۰۸
SMA2	۶۲۱۳۷,۳۹	۱۸۴۲۳,۷۵	۸۷۹۷,۵	۱	-۰,۰۰۷
				۲	-۰,۰۰۱۱
				۳	۰,۰۱۱
				۴	۰,۰۱۱
				۵	۰,۰۱
				۶	۰,۰۱۱

نوع میلگرد حافظه دار شکلی	وزن سازه (کیلونیوتن)	لنگر تکیه گاهی (کیلونیوتن-متر)	برش پایه (کیلونیوتن)	طبقه	جابجایی نسبی
SMA3	۶۲۱۳۷,۳۷	۱۶۸۷۱,۶۵	۷۹۱۴,۲۱	۷	۰,۰۱۲
				۸	۰,۰۱۲
				۹	۰,۰۱۲
				۱۰	-۰,۰۱۲
				۱۱	۰,۰۱
				۱۲	-۰,۰۰۶
				۱	۰,۰۰۷
				۲	۰,۰۱۱
				۳	۰,۰۱۲
				۴	۰,۰۰۱۲
				۵	-۰,۰۱۱
				۶	-۰,۰۱

۵. نتیجه گیری

در این مقاله عملکرد ساختمان بتی با قاب خمثی و دیوار برشی مسلح شده با میلگردهای حافظه دار شکلی مختلف SMA-RC و بدون آنها، مقایسه و ارائه شده است. عملکرد ساختمان ۱۲ طبقه دارای سیستم باربر قاب خمثی بتون مسلح به همراه دیوار برشی مجهز به میلگرد حافظه دار شکلی از نظر تغییر مکان نسبی طبقات و برش پایه مورد ارزیابی قرار گرفت. با بررسی پاسخهای لرزه‌ای آنها نتایج زیر حاصل شده است:

- ۱) میانگین تغییر مکان نسبی طبقات در حالت تجهیز با میلگرد آلیاژ حافظه دار شکلی شماره یک، دو و سه، به طور تقریبی برابر با ۰,۰۰۰۰۶ می باشد.
- ۲) میانگین تغییر مکان نسبی طبقات در حالت بدون تجهیز با میلگرد آلیاژ حافظه دار شکلی، به طور تقریبی برابر با ۰,۰۰۸ می باشد.

۳) نتایج نشان می‌دهد در صورت استفاده از میلگرد آلیاژ حافظه دار شکلی، میانگین تغییر مکان نسبی طبقات به میزان حدود ۶۳,۹ درصد نسبت به ساختمان بدون میلگردهای با آلیاژ حافظه‌دار شکلی کاهش یافته است.

۴) کاهش وزن ساختمان به میزان تقریبی ۰,۳۲ درصد نسبت به ساختمان بدون میلگردهای با آلیاژ حافظه دار شکلی و کاهش لنگرتکیه گاهی ساختمان به میزان تقریبی ۹,۶ درصد نسبت به ساختمان بدون میلگردهای با آلیاژ حافظه دار شکلی از مزایای این سیستم می‌باشد.
البته با توجه به در نظر نگرفتن تغییرات فشاری و کششی مواد آلیاژ حافظه‌دار در برابر تغییر درجه دما، تحقیق بیشتر در این مطالعه مورد نیاز است.

۶- فهرست منابع

- [1] Pareek, S., Suzuki, Y., Araki, Y., Youssef, M.A., Meshaly, M., (2018), "Plastic hinge relocation in reinforced concrete beams using Cu-Al-Mn SMA bars", *Engineering Structures*, 175, p. 765-775, <https://doi.org/10.1016/j.engstruct.2018.08.072>
- [2] Raghunandan, M., Liel, A.B., (2013), "Effect of ground motion duration on earthquake-induced structural collapse", *Structural Safety*, 41, p. 119-133, <https://doi.org/10.1016/j.strusafe.2012.12.002>
- [3] Alam, M.S., Youssef, M.A., Nehdi, M., (2008), "Analytical prediction of the seismic behaviour of superelastic shape memory alloy reinforced concrete elements", *Engineering Structures*, 30(12), p. 3399-3411, <https://doi.org/10.1016/j.engstruct.2008.05.025>.
- [4] Muntasir Billah, A.H.M., Siddiquee, K.N., Issa, A., (2021), "Seismic collapse safety and response modification factor of concrete frame buildings reinforced with superelastic shape memory alloy (SMA) rebar", *Journal of building engineering*, 42(12), p. 102468, <https://doi.org/10.1016/j.jobe.2021.102468>.
- [5] Bagher Shemirani, A. (2022), "Experimental and numerical studies of concrete bridge decks using ultra high-performance concrete and reinforced concrete", *Computers and Concrete*, 29(6), p. 407-418, <https://doi.org/10.12989/cac.2022.29.6.407>.